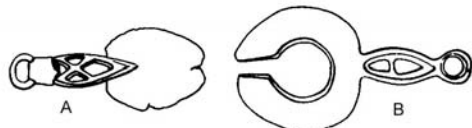


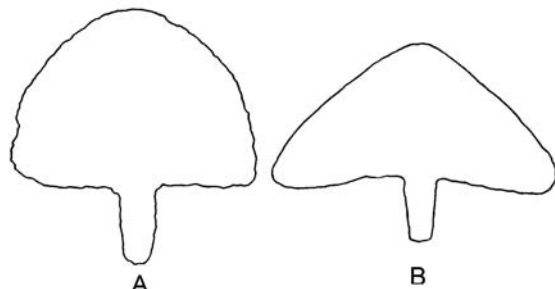
**Figura 13.a: Cuchillas y navajas**



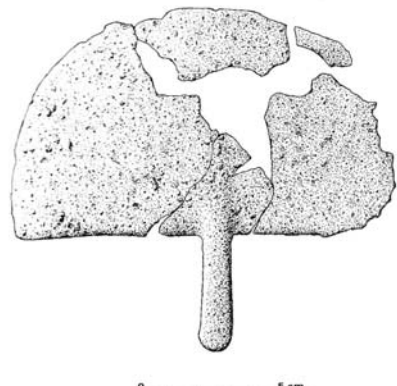
**Fig.13.a. 1: Cuchillas de la Edad del Bronce, procedentes de A) Guévaux (lago de Morat) B) Onnens (lago de Neuchâtel) (Dechelette 1910)**



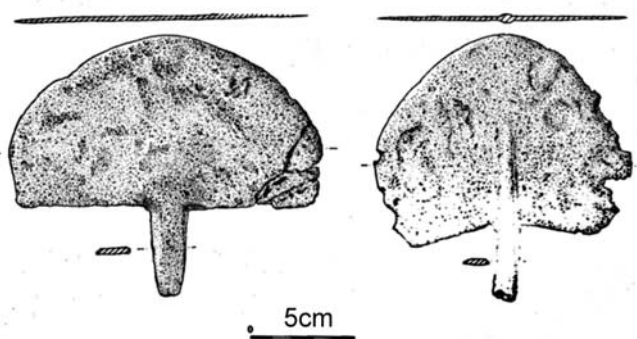
**Fig.13.a. 2: Cuchilla procedente de Enkomi (Catling 1964)**



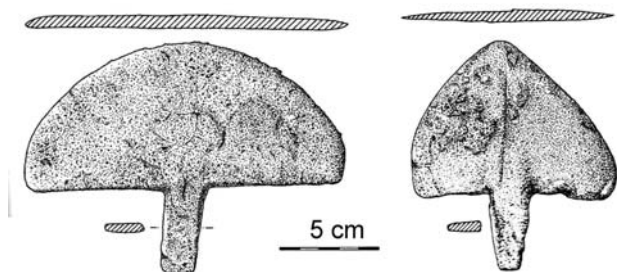
**Fig.13.a. 3: Cuchillas procedentes de Cales Coves; A) cueva CX; B) cueva VII (Veny 1982)**



**Fig.13.a. 4: Cuchilla procedente de la naveta de Cotaina (Delibes y Fernández-Miranda, 1988)**



**Fig.13.a. 5: Cuchillas procedentes de Binimel.là (Delibes y Fernández-Miranda, 1988)**



**Fig.13.a. 6: Cuchillas procedentes de La Vall (Delibes y Fernández-Miranda, 1988)**

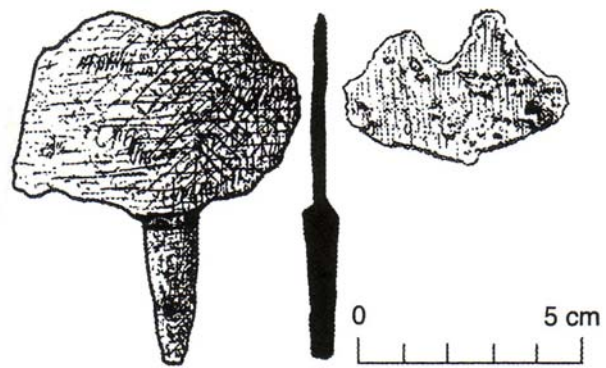


**Fig.13.a. 7: Navaja fenicio-púnica procedente del hipogeo nº3 de Puig des Molins (Fernández, 1992)**

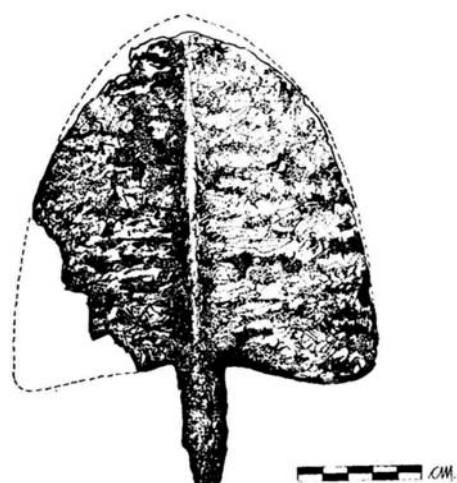
**Figura 13.b: Cuchillas y navajas  
(Mallorca)**



**Fig.13.b. 1: Molde de fundición para cuchilla procedente de Can Xim Ca's Cana (Pericot, 1974)**



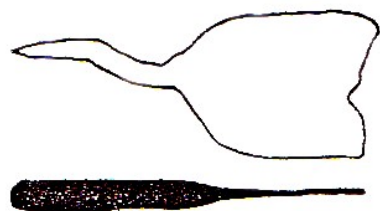
**Fig.13.b. 3: Cuchilla procedente de Son Real, SR46 (Hernández, 1998)**



**Fig.13.b. 2: Cuchilla procedente del estrato 7 sector este de Son Matge (Rosselló-Bordoy y Waldren, 1973)**



**Fig.13.b. 4: Cuchillas procedentes de Ses Copis (Enseñat, 1981)**



**Fig.13.b. 5: Navaja fenicio-púnica procedente de Son Ribot (Coll, 1989)**

Figura 14.a: Fíbulas

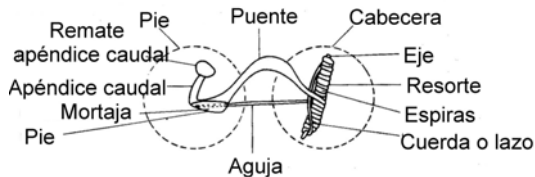


Fig.14.a. 1: Partes en las que se compone una fíbula, sobre dos modelos diferentes (Argente 1994)

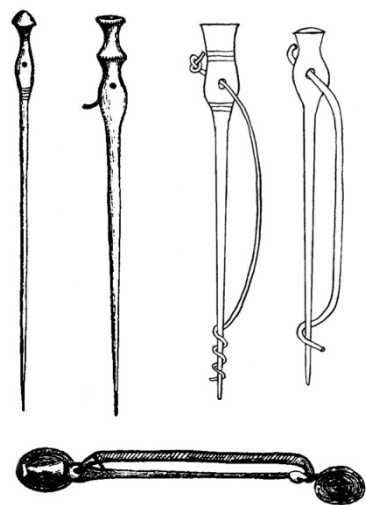


Fig.14.a. 2: Proceso de transformación de las agujas con perforación en la cabeza a las primeras fíbulas (Dechelette, 1910 y Alexander, 1973)

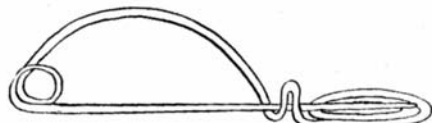


Fig.14.a. 3: Fíbula con cierre del resorte dobrado y base horizontal de disco en espiral en el arco (tipo norte de Alexander y Hopkin) (Alexander 1973)



Fig.14.a. 4: Fíbula con resorte de muelle y base lisa en el mismo plano que el arco (tipo sur de Alexander y Hopkin) (Alexander 1973)

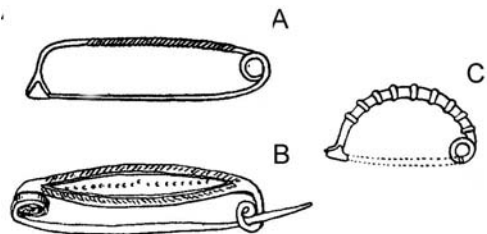


Fig.14.a. 5: Fíbulas fechadas en el Bronce IV (900-650) procedentes de Europa occidental:  
A) Peschiera (norte de Italia), B) Saint-Etienne-Au Temple (Marne), C) Larnaud (Jura) (Dechelette, 1910)



Fig.14.a. 6: Fíbula procedente de la necrópolis Martí (enterramiento nº9) (Almagro, 1953)

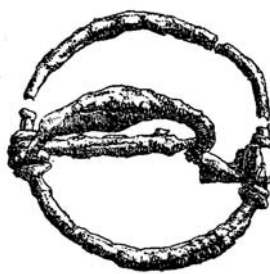


Fig.14.a. 7: Fíbula anular procedente de la necrópolis de Bonjoan, enterramiento nº55 (Almagro, 1953)

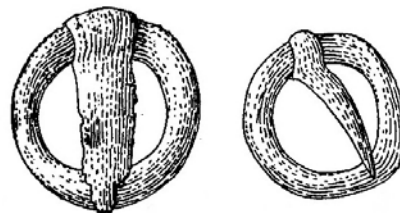


Fig.14.a. 8: Broches griegos procedentes de Villaricos y Albufera (Almagro, 1966)

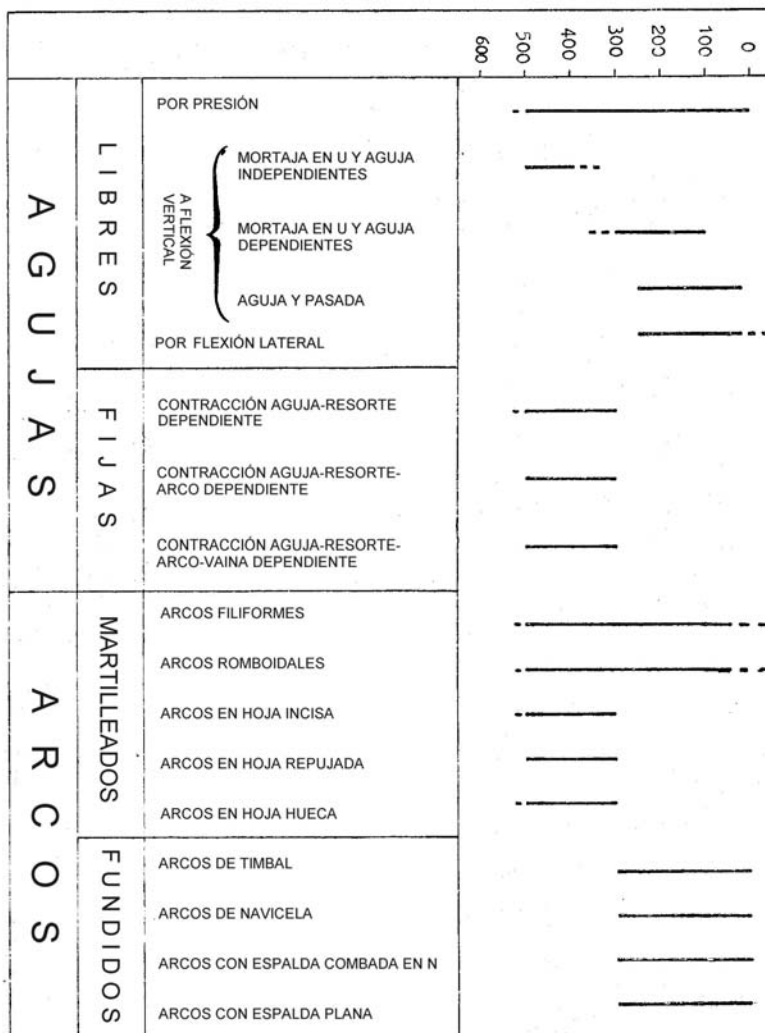


Fig.14.a. 9: Tabla sintética de la evolución cronológica de los mecanismos de aguja y arco de las fíbulas anulares hispánicas (Daugas y Tixier, 1976)



Fig.14.a. 10: Fíbula procedente de Ca'n Oliver (Barberà *et alii*, 1960-1961)

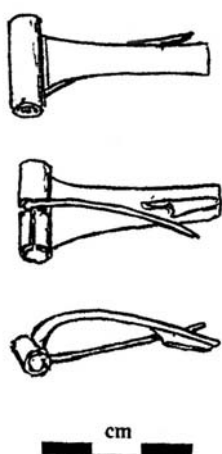


Fig.14.a. 11: Fíbula con resorte oculto bajo el puente procedente del oppidum de Cayla (Taffanel, 1996)

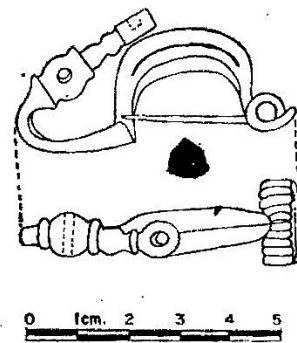
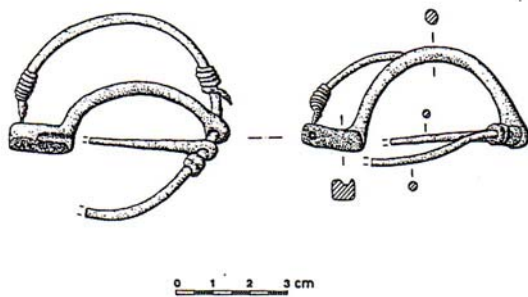
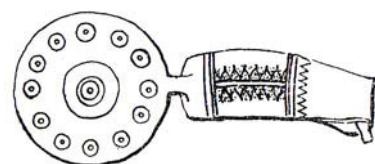


Fig.14.a. 12: Fíbula tipo 3b del Cigarralero (Cuadrado, 1978)

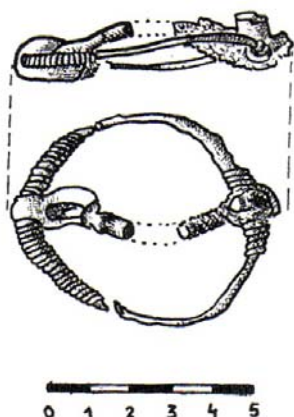
**Figura 14.b: Fíbulas (Mallorca)**



**Fig.14.b. 1: Fíbula procedente de Son Bauçà  
(Frontán, 1991)**



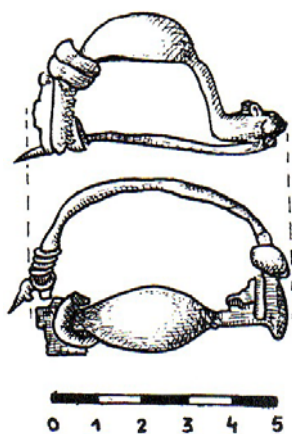
**Fig.14.b. 4: Fíbula procedente de Cometa  
dels Morts (Veny, 1947)**



**Fig.14.b. 2: fíbula procedente de S'Illot,  
círculo B (Tarradell, 1964)**



**Fig.14.b. 5: Fíbula procedente de Sa Madona  
(Fernández-Miranda, 1978)**



**Fig.14.b. 3: Fíbula procedente de S'Illot des  
Porros (Tarradell, 1964)**



**Fig.14.b. 6: Fíbula procedente de Son Real,  
SR17 (Hernández, 1998)**



Fig.14.b. 7: Fíbulas procedentes de Son Favar (Amorós y García Bellido, 1953)

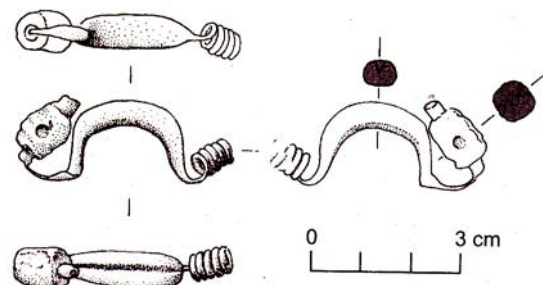
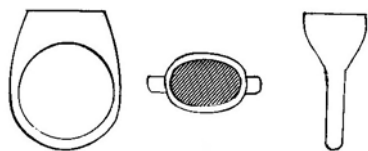


Fig.14.b. 8: Fíbula procedente de S'Illot des Porros, círculo C (Hernández *et alii*, 1998)

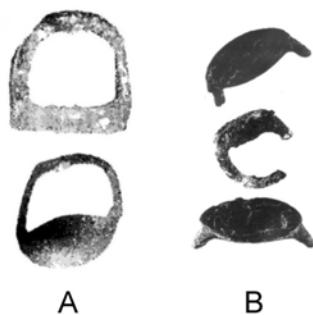
**Figura 15.a: Anillos**



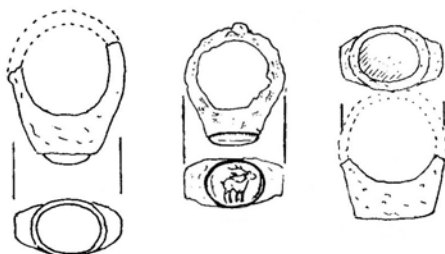
**Fig.15.a. 1:** Prototipo anillo Grecia clásica ss.V-IV donde se observa la altura mayor al diámetro externo del aro (Guiraud, 1988)



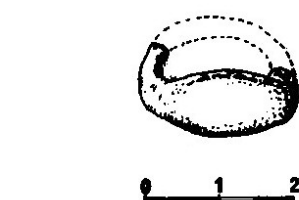
**Fig.15.a. 4:** Anillos de cabeza cónica procedentes de Sanromà de Tiana (Badalona) (Enseñat, 1981)



**Fig.15.a. 2:** Anillos procedentes de Ibiza. A) Necrópolis de Erneso y Purmany (Román, 1906: lamXII); b) Necrópolis de Puig des Molins (Mayor 19XX)



**Fig.15.a. 3:** Anillos procedentes de la necrópolis de San Bernardo (Ornavasso) (Piana, 1972)



**Fig.15.a. 5:** Anillo procedente de la cueva LVII de Cales Covas (Veny, 1982)

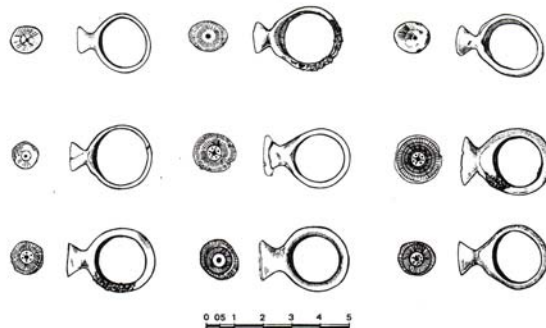


**Fig.15.a. 6:** Anillos procedentes de A) Nymphaeum, B) Grecia del este, C) Smyrna (Boardman y Vollenweider, 1978)

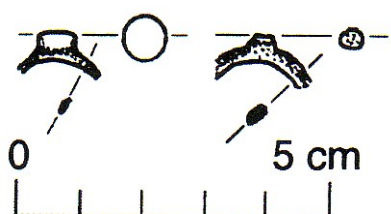


**Fig.15.a.7:** Escarabeo calcedónico (Richter, 1968)

**Figura 15.b: Anillos (Mallorca)**



**Fig.15.b. 1: Anillos de cabeza cónica procedentes de Son Bosc (Enseñat, 1981)**



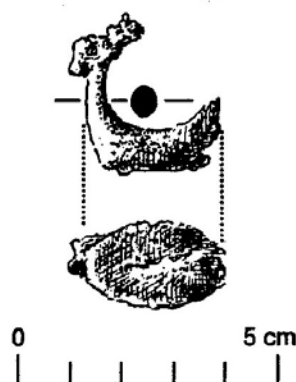
**Fig.15.b. 2: Anillo de cabeza cónica procedente de Son Real, SR99 (Hernández, 1998)**



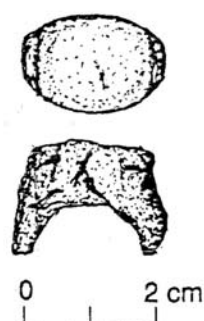
**Fig.15.b. 3: Anillo de cabeza cónica procedente de Son Ribot (Coll, 1989)**



**Fig.15.b. 4: Anillos de cabeza cónica procedentes de Cova Monja (Enseñat, 1982)**



**Fig.15.b. 5: Anillo con sello (de Fe) procedente de Son Real, SR6 (Hernández, 1998)**



**Fig.15.b. 6: Anillo con sello (de Fe) procedente de Son Matge (Hoffman, 1991)**



**Fig.15.b. 7: Fragmento de anillo con sello (?) procedente de Son Real, SR18 (Hernández, 1998)**

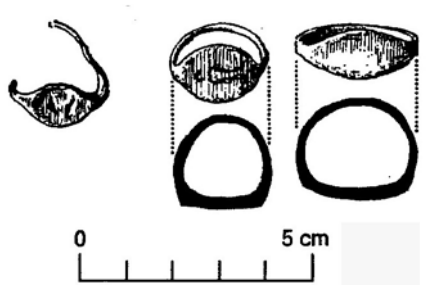


Fig.15.b. 8: Anillos con sello procedentes de Son Real, SR6 (Hernández, 1998)

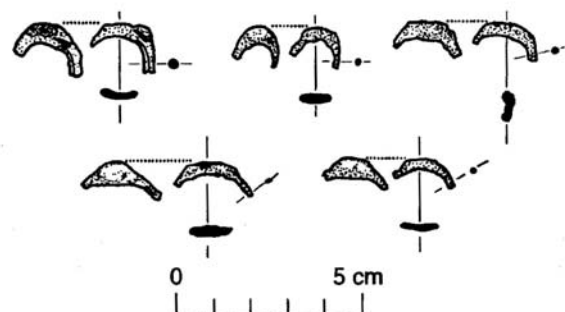


Fig.15.b. 11: Anillos con sello procedentes de Son Real, SR92 (Hernández, 1998)



Fig.15.b. 9: Anillo con sello procedente de Son Maiol (Plantalamor, 1974)



Fig.15.b. 10: Anillo con sello procedente de Cometa dels Morts I (Veny, 1953)

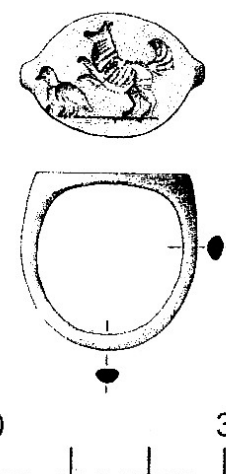
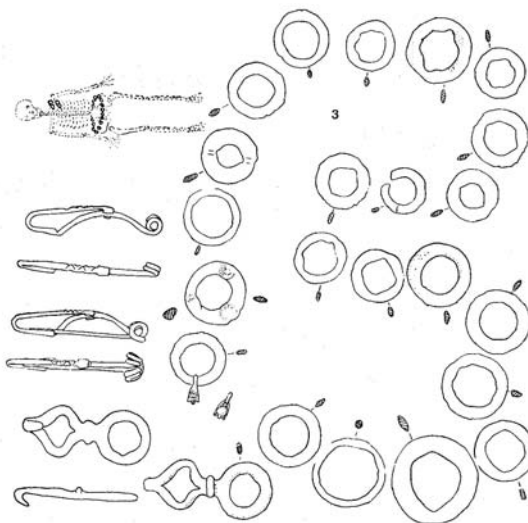
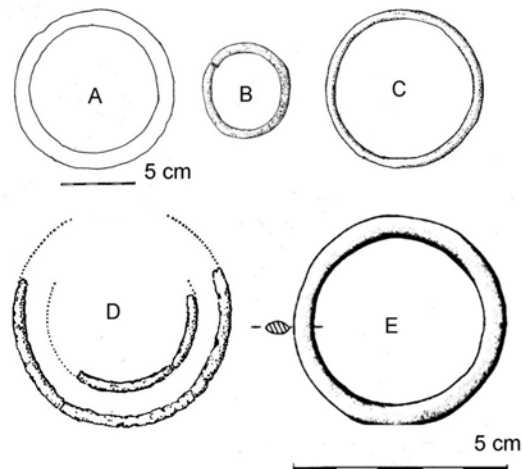


Fig.15.b. 12: Anillo procedente de S'Illot des Porros (Hernández *et alii*, 1998)

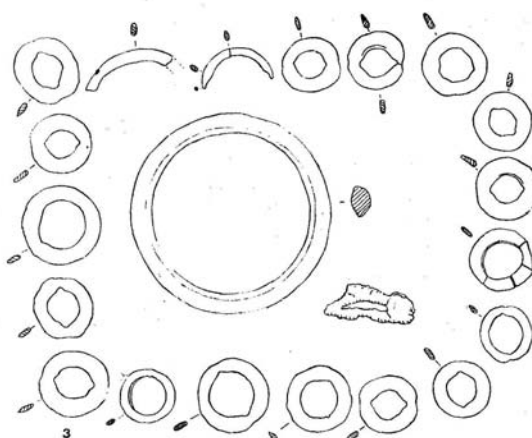
**Figura 16.a: Aros**



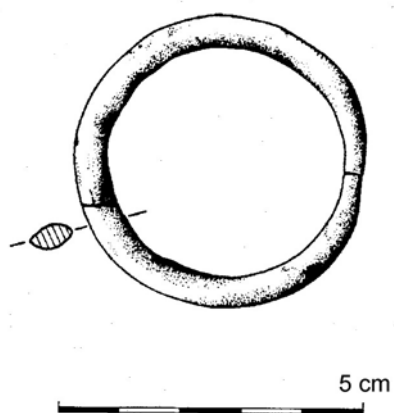
**Fig.16.a 1:** Aros interpretados como componentes de cinturón procedentes de la necrópolis de Hourgnote, sepultura nº6 (Duval, 1972)



**Fig.16.a 3:** Aros procedentes de A) Naveta des Tudons, B)Cotaina, C) Sa Torreta, D) Sa Cova, (Veny, 1974), E) Es Càrritx (Lull *et alii*, 1999:)



**Fig.16.a 2:** Aros interpretados como anillos procedentes de la necrópolis de Hourgnote, sepultura nº17 (Duval, 1972)



**Fig.16.a 4:** Aro cerrado por contacto procedente de Es Càrritx, Sala 1 (Lull *et alii*, 1999)

Figura 16.b: Aros (Mallorca)

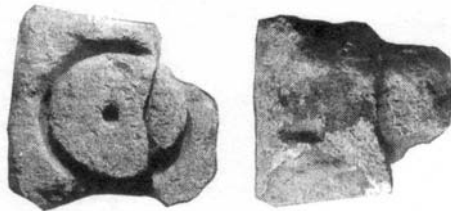


Fig.16.b. 1: Molde de fundición para aros procedente de Hospitalet Vell (Rosselló-Bordoy, 1987)



Fig.16.b. 2: Aros por fundición procedentes de Son Bosc (Enseñat, 1981)

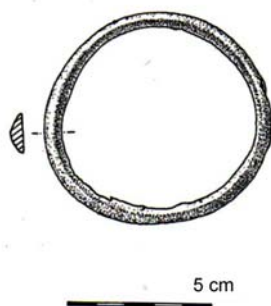


Fig.16.b. 3: Aro por fundición procedente de Sa Cova (Veny, 1974)

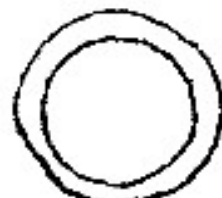


Fig.16.b. 4: Aro por fundición procedente de Sa Madona (Coll, 1989)

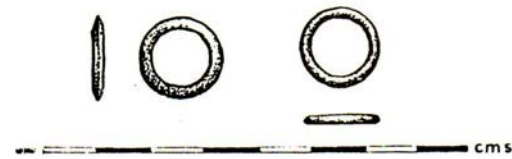


Fig.16.b. 5: Aros por fundición procedentes de Son Matge (Waldren, 1982)

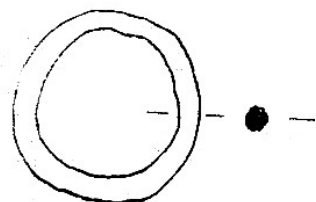


Fig.16.b. 6: Aro por fundición procedente de Son Ribot (Coll, 1989)

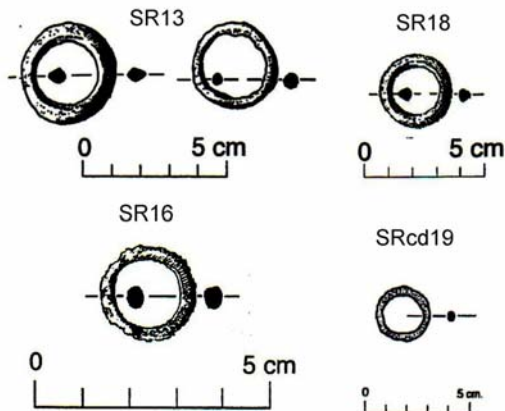
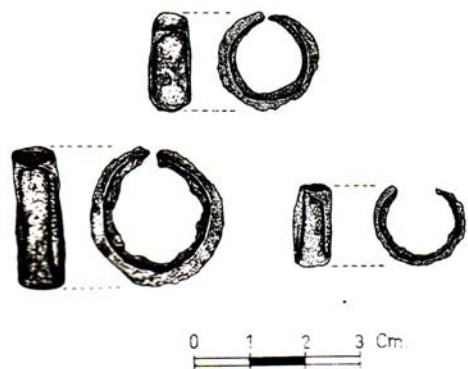


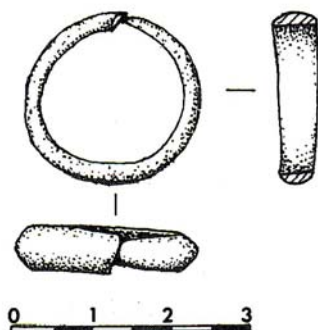
Fig.16.b. 7: Aros por fundición procedentes de Son Real (Hernández, 1998)



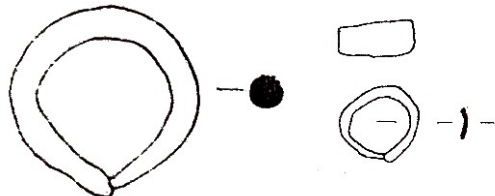
**Fig.16.b. 8: Aros con cierre por contacto procedentes de Cometa dels Morts (Veny, 1947 y 1950)**



**Fig.16.b. 11: Aros abiertos procedentes de Son Bosc (Enseñat, 1981)**



**Fig.16.b. 9: Aro con cierre por contacto procedente de Cometa dels Morts II (Veny, 1947)**



**Fig.16.b. 10: Aros con cierre por contacto procedentes de Son Ribot (Coll, 1989)**



**Fig.16.b. 12: Aro cerrado con cierre procedente de Son Maiol (Plantalamor, 1974)**



**Fig.16.b. 13: Aro cerrado por superposición simple procedente de Sa Madona (Coll, 1989)**

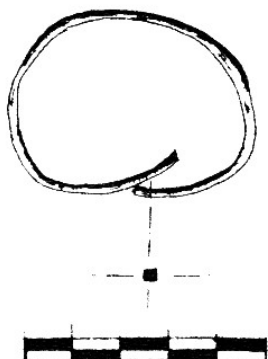


Fig.16.b. 14: Aro cerrado por superposición simple procedente de Son Matge (Waldren, 1982)

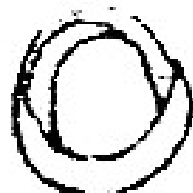


Fig.16.b. 15: Aro cerrado por superposición simple procedente de Son Ribot (Coll, 1989)

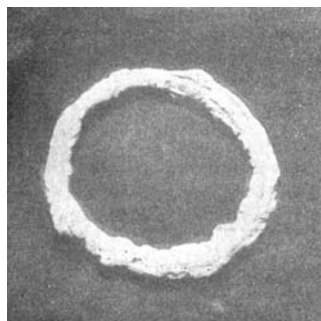


Fig.16.b. 16: Aro cerrado por superposición simple procedente de So'n Oms (Rosselló-Bordoy, 1965)



Fig.16.b. 17: Aro cerrado por superposición en espiral procedente de Sa Madona (Coll, 1989)

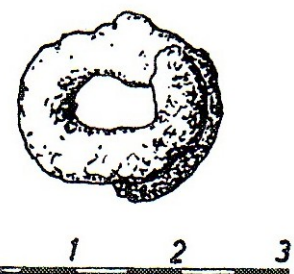


Fig.16.b. 18: Aro cerrado por superposición en espiral procedente de Son Maimó (Veny, 1974)

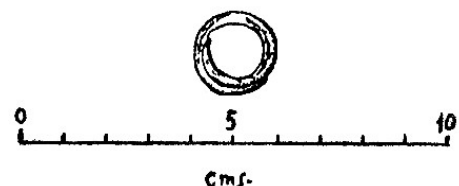


Fig.16.b. 19: Aro cerrado por superposición en espiral procedente de Cometa dels Morts (Veny, 1950)

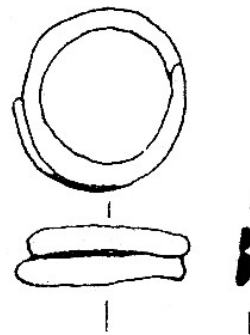


Fig.16.b. 20: Aro cerrado por superposición en espiral procedente de Son Ribot (Coll, 1989)



Fig.16.b. 21: Aro cerrado por superposición en espiral procedente de Coval d'en Pep Rave (Coll, 1991)

Figura 17.a: *Espiraliformes*

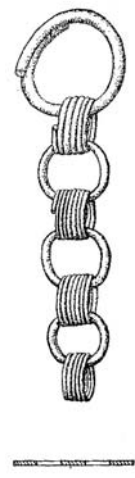


Fig.17.a. 1: Cadena compuesta por espiraliformes y aros de bronce procedentes de la necrópolis tubular del bosque de Carnoët (Briard y Mohen, 1974)



Fig.17.a. 2: Espiraliforme calcolítico/Bronce Antiguo procedente del dolmen de Saint-Martin-du Larzac (Musée du Rouerge, 1990)

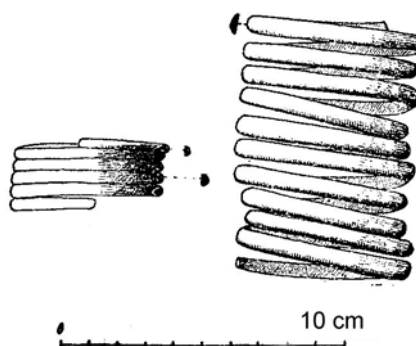


Fig.17.a. 3: Espiraliformes procedentes de los túmulos de la región de Haugenau (Inicios de la Edad del Bronce) (Schaeffer, 1979)

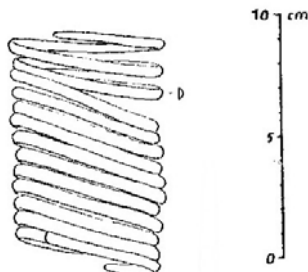


Fig.17.a. 4: Espiraliforme procedente del depósito de Habsheim. Bronce Medio (Zumstein, 1976)



Fig.17.a. 5: Espiraliforme procedente del depósito de Plaidt. Bronce Final (Ruppel, 1988)

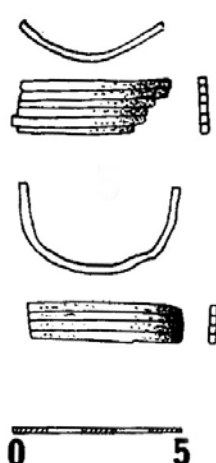


Fig.17.a. 6: Espiraliformes procedentes de Avezac-Prat, I túmulo J de Ibos (Mohen, 1980)

Figura 17.b: *Espiraliformes* (Mallorca)

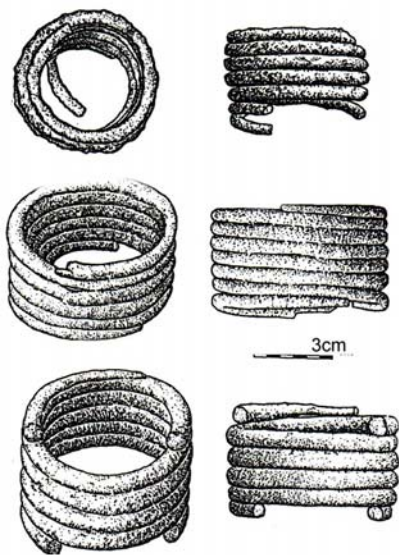


Fig.17.b. 1: Espiraliformes cilíndricos procedentes de Son Bauçà (Frontán, 1991)

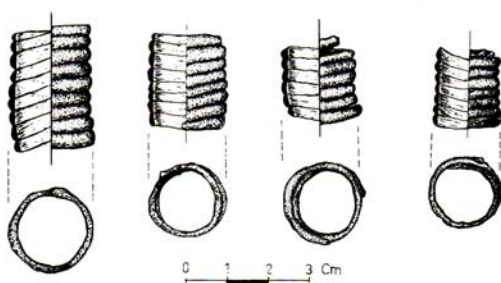


Fig.17.b. 2: Espiraliformes cilíndricos procedentes de Son Bosc (Enseñat, 1981)



Fig.17.b. 3: Espiraliformes cilíndricos procedentes de Cometa dels Morts (Veny, 1950)

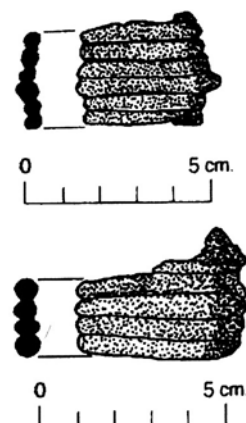


Fig.17.b. 4: Espiraliformes cilíndricos procedentes de S'Illa des Porros, círculo C (Hernández, 1996)



Fig.17.b. 5: Espiraliformes cilíndricos procedentes de Son Matge (Rosselló-Bordoy y Waldren, 1973)

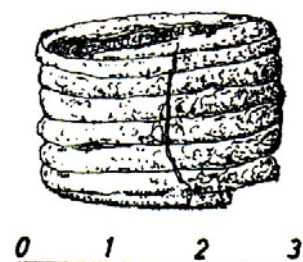


Fig.17.b. 6: Espiraliforme cilíndrico procedente de Son Maimó (Amorós, 1974)

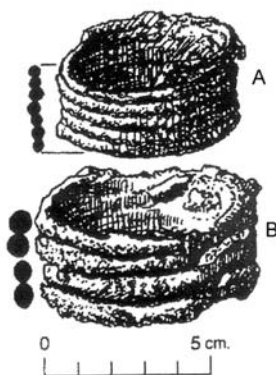


Fig.17.b. 7: Espiraliformes cilíndricos procedentes de Son Real, SR36 y SR59 (Hernández, 1996)

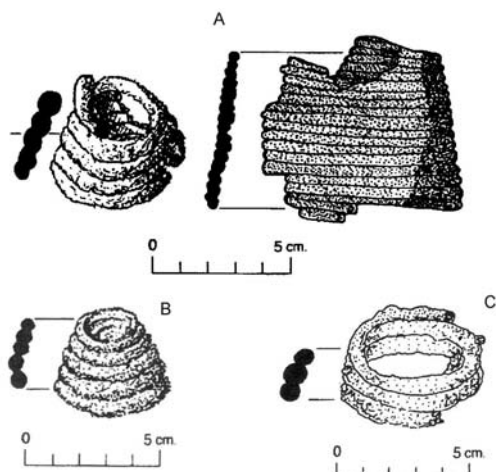


Fig.17.b. 10: Espiraliformes troncocónicos procedentes de S'Ilot des Porros, A y C) círculo C, B) Círculo B (Hernández, 1996)

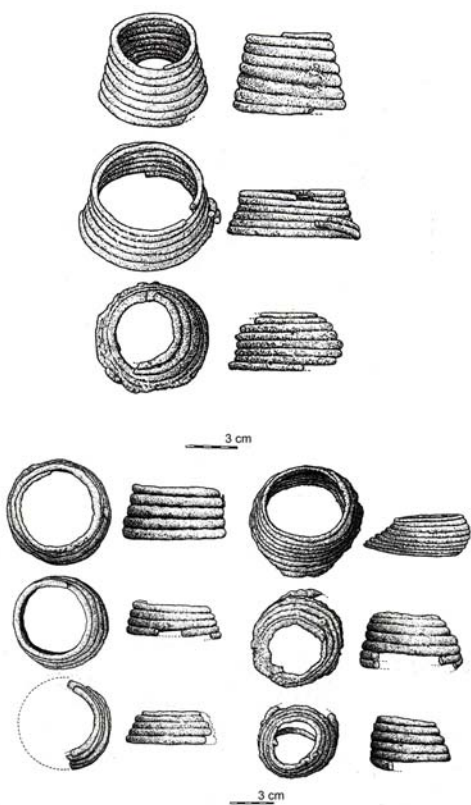


Fig.17.b. 8: Espiraliformes troncocónicos procedentes de Son Bauçà (Frontán, 1991)

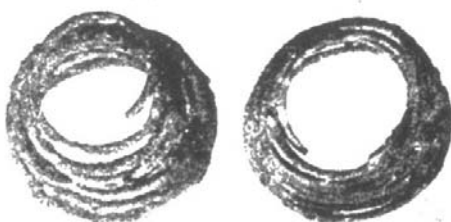


Fig.17.b. 9: Espiraliformes troncocónicos procedentes de Cometa dels Mots (Veny, 1947)

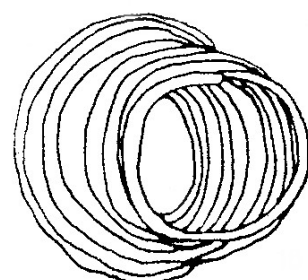


Fig.17.b. 11: Espiraliforme troncocónico procedente de Sa Madona (Coll, 1989)

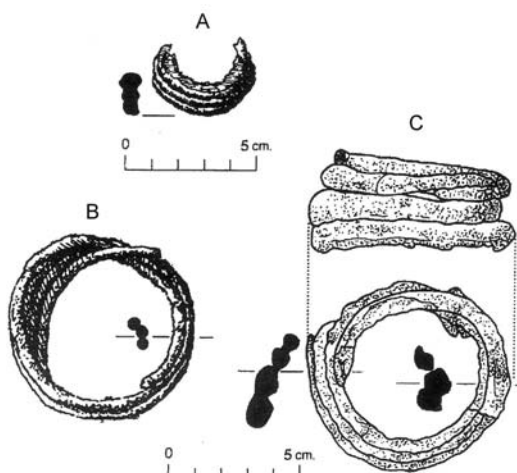


Fig.17.b. 12: Espiraliformes troncocónicos procedentes de Son Real, A)SR13, B)SR73 y C)SR85 (Hernández, 1996)

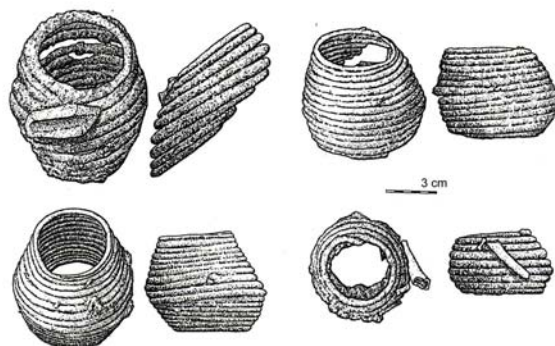


Fig.17.b. 13: Espiraliformes bitroncocónicos procedentes de Son Bauçà (Frontán, 1991)

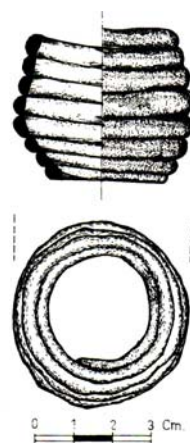


Fig.17.b. 14: Espiraliforme bitroncocónico procedente de Son Bosc (Enseñat, 1981)

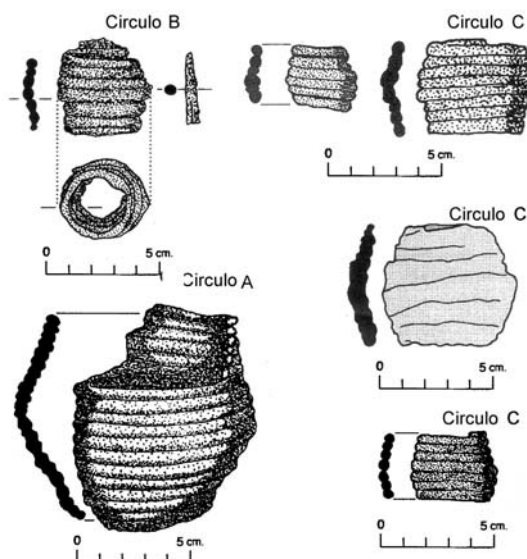


Fig.17.b. 15: Espiraliformes bitroncocónicos procedentes de S'Illot des Porros (Hernández, 1996)



Fig.17.b. 16: Espiraliforme bitroncocónico procedente de Sa Madona (Coll, 1989)



Fig.17.b. 17: Espiraliformes bitroncocónicos procedentes de Son Maimó (Plantalamor, 1974)

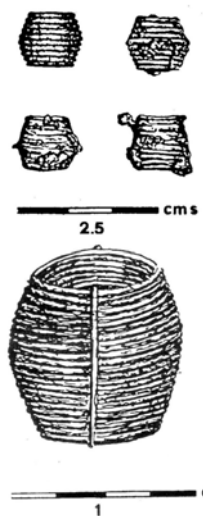


Fig.17.b. 18: Espiraliformes bitroncocónicos procedentes de Son Matge (Waldren, 1982)

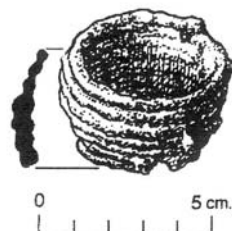
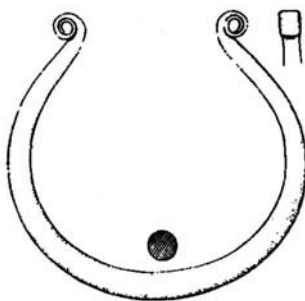


Fig.17.b. 19: Espiraliforme bitroncocónico procedente de Son Real, SR28 (Hernández, 1996)

**Figura 18.a: Torques**

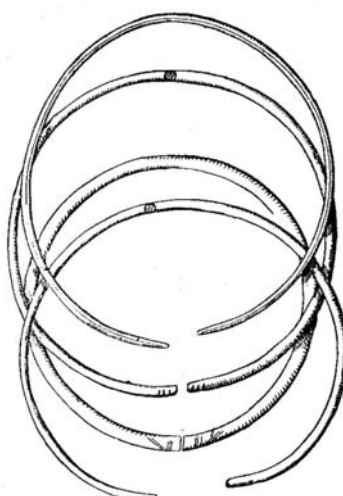


**Fig.18.a. 1:** Torques procedente de la región de Unetice (Briard, 1985)



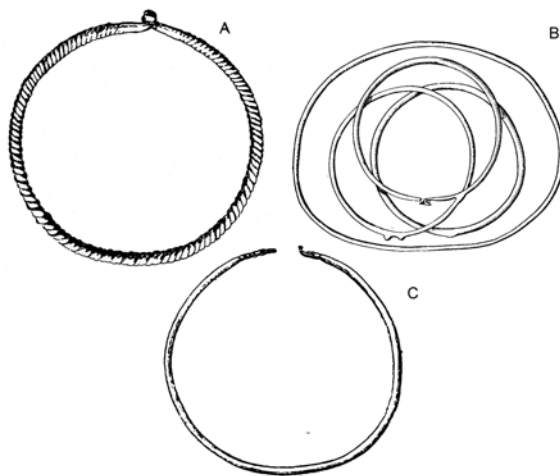
**Fig.18.a. 2:** Torques procedente de la necrópolis del Molar (Tarragona), Tumba nº26 (Ruiz Zapatero, 1983)

**Fig.18.a. 4:** Terracota de Andómeda (Castro Pérez, 1987)

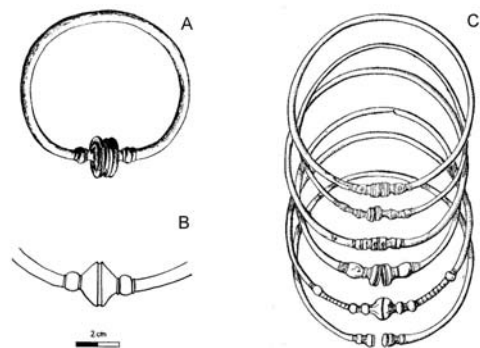


**Fig.18.a. 5:** Torques procedente de Marson (Marne) (Dechelette, 1914)

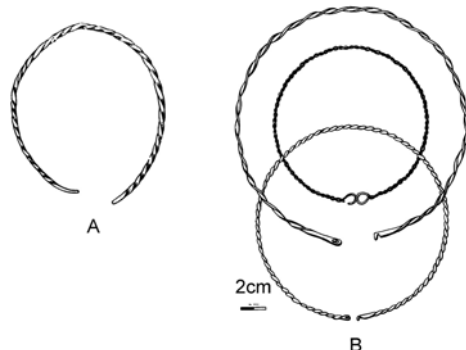
**Fig.18.a. 3:** Torques de época hallstáttica con terminación abrupta o por adelgazamiento paulatino (Schaeffer, 1979)



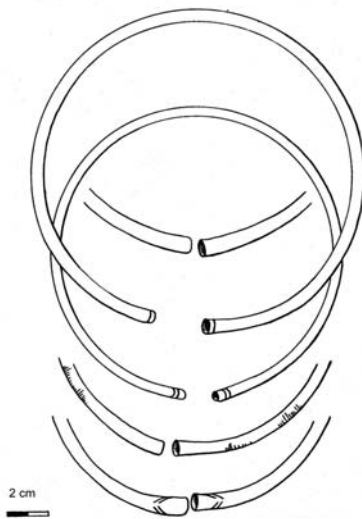
**Fig.18.a. 6:** Torques con cierre por repliegue de ambos extremos de la varilla. Varias épocas. Procedentes de A) Margo (Irlanda), ss.XII-X ane (Castro Pérez, 1987); B) Túmulos de la región de Haguenau, Hallstatt II, (Schaeffer, 1979); C) Caianda (Aisre) La Tène I (Dechelette, 1914)



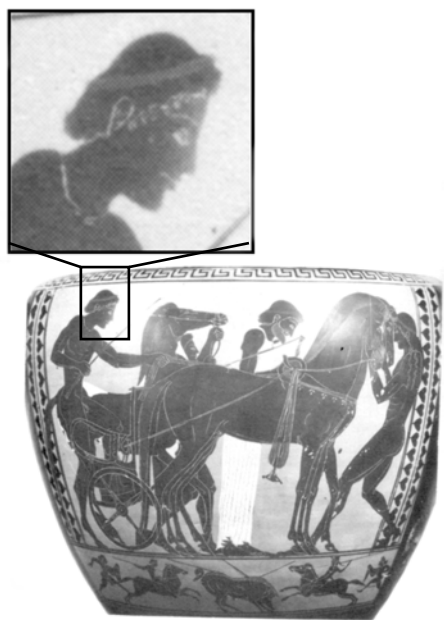
**Fig.18.a. 8:** Torques acabados en tampones. A) Bussy-le-Château (Marne) (Dechelette, 1914); B) Champagne (Bretz-Mahler, 1971); Túmulos de la región de Haguenau (Schaeffer, 1979 )



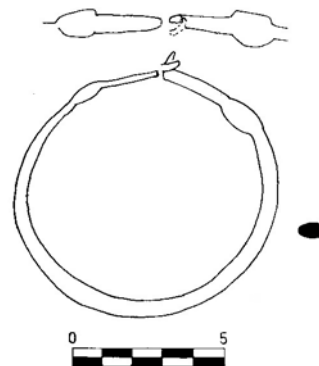
**Fig.18.a. 7:** Torques de tallo torcido. Varias épocas. Procedentes de A) túmulos de la región de Haguenau, Hallstatt II (Schaeffer, 1979)



**Fig.18.a. 9:** Torques producidos por el remachado de una lámina de metal sobre cilindro de madera o alma de arcilla (Bretz-Mahler, 1971)



**Fig.18.a. 10:** Vaso ático de figuras negras (s.VI a.C.) donde puede observarse al personaje masculino sobre carro portando un torque (Greenhalgh, 1973)



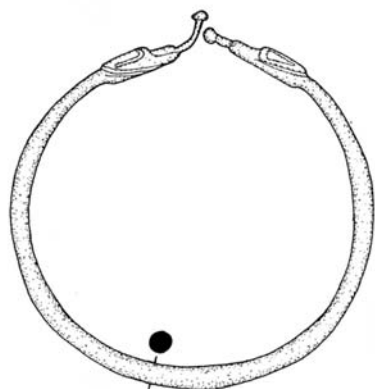
**Fig.18.a. 13:** Torques procedente de Ibiza (Enseñat, 1981)



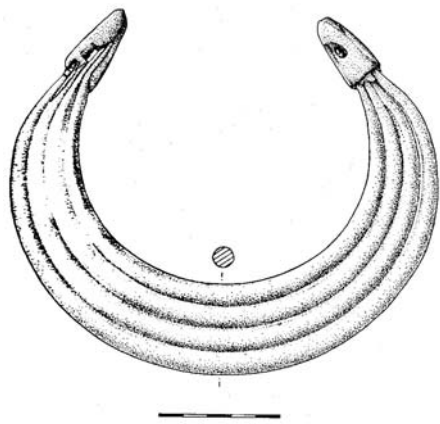
**Fig.18.a. 11:** Torques procedente de la cueva de Es Càrrtix (Lull *et alii*, 1999)



**Fig.18.a. 12:** Torques procedente de la cueva XXXV de Cales Coves (Veny, 1982)

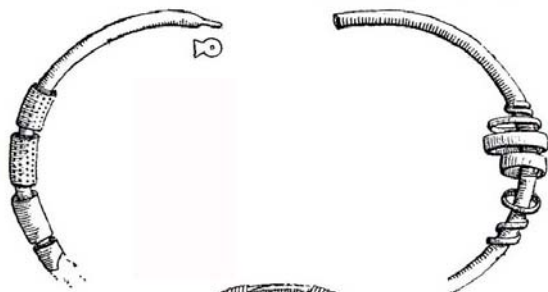


**Fig.18.a. 14:** Torques procedente de la necrópolis de Fondo Scataglini (Serra, 1996)



**Fig.18.a. 15:** Pectoral procedente de Son Foradat (Delibes y Fernández-Miranda, 1988)

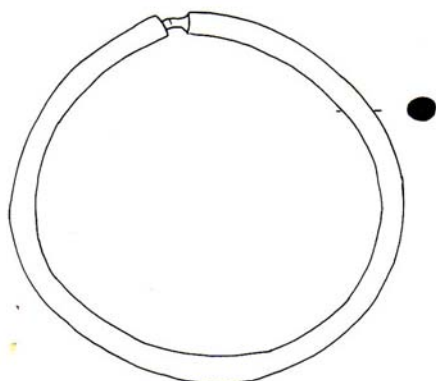
**Figura 18.b: Torques (Mallorca)**



**Fig.18.a. 16: Torques procedentes de Cometa  
dels Morts I (Veny, 1947)**



**Fig.18.a. 18: Torques procedente de Son Bosc  
(Enseñat, 1981)**



**Fig.18.a. 17: Torques procedente de S'Alova  
(Enseñat, 1981)**

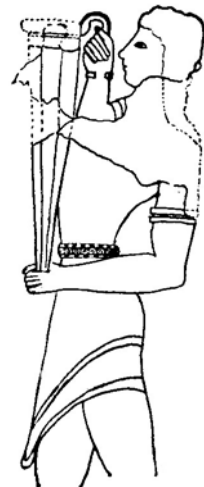
**Figura 19.a: Diademas, cinturones y diademas-cinturón**



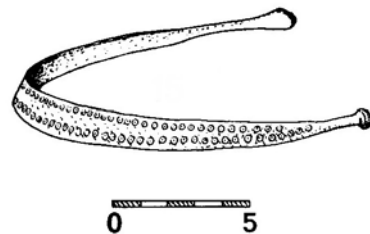
**Fig.19.a. 1:** Cinturón procedente de Este (fase II c, 2ª mitad s. VIII a.C.) (Peroni *et alii*, 19751)



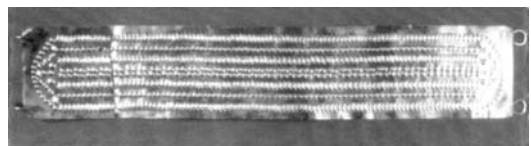
**Fig.19.a. 4:** Diademas-cinturón procedentes de Ukermark (Brandeburgo) (Dechelette, 19131)



**Fig.19.a. 2:** Copero por tanto cinturón rígido procedente de un friso de Knossos (Luengo, 19721)



**Fig.19.a. 5:** Diadema-cinturón de inicios de La Tène procedente de Uchacq (Laudes) (Mohen, 19801)



**Fig.19.a. 6:** Diadema-cinturón de oro procedente de Cangues de Onís (Oviedo), Segunda Edad del Hierro (Maya, 19931)

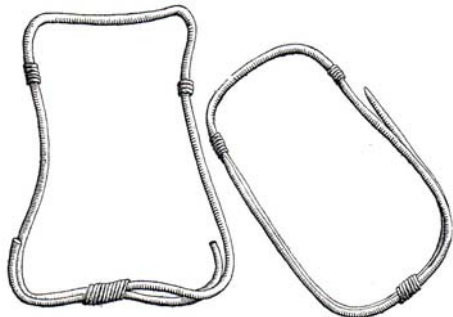


**Fig.19.a. 3:** Cinturón rígido procedente de las cercanías de Palencia (Álvarez, 19411)

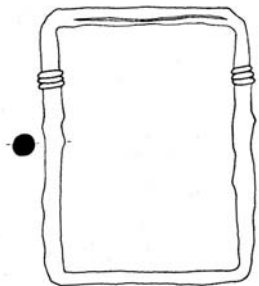


**Fig.19.a. 7:** Anillas humerales procedentes de A) Wisenau (Mayence), B) Letky (Bohemia), C) Ornavasso (Verbano) (Dechelette, 19141)

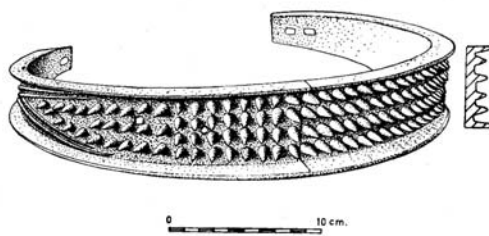
**Figura 19.b: Diademas, cinturones y diademas-cinturón (Mallorca)**



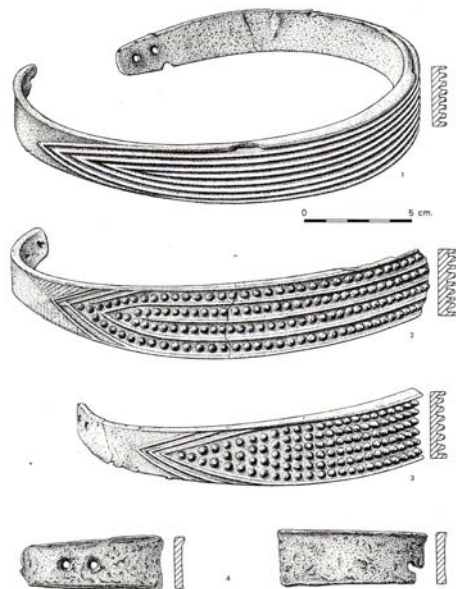
**Fig.19.b. 1:** “Diademas” procedentes de Cometa dels Morts I (Veny, 1947)



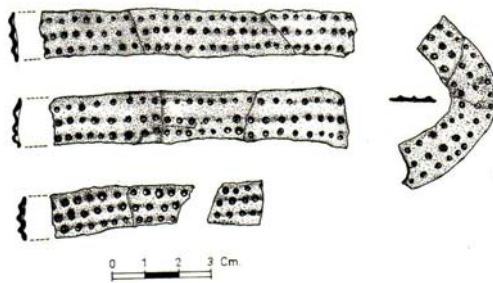
**Fig.19.b. 2:** Rectángulo de bronce procedente de Cova Monja (Enseñat, 1981)



**Fig.19.b. 3:** Cinturón rígido procedente del depósito de Lloseta (Delibes y Fernández-Miranda, 1988)

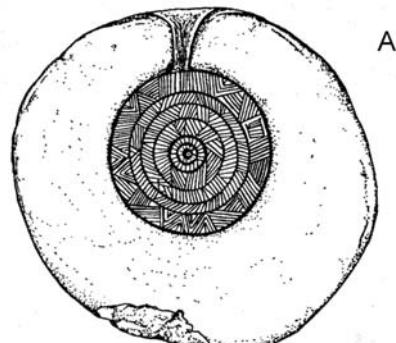


**Fig.19.b. 4:** Cinturones rígidos procedentes de Son Vaquer d'en Ribera (?) (Delibes y Fernández-Miranda, 1988)

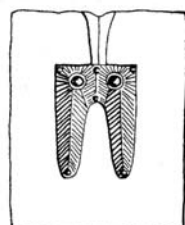


**Fig.19.b. 5:** Diadema-cinturón procedente de Son Bosc (Enseñat, 1981)

Figura 20.a: Placas de plomo

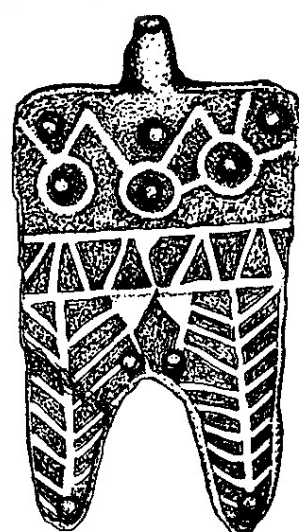


4 cm



4 cm

Fig.20.a. 1: Moldes de fundición para placas de plomo realizados sobre *llosella*. A) Pleta de Ses Lluques (Ciutadella), B) Talatí de Dalt (Maó) (de Nicolás, 1988)



0  
1  
2  
3  
4

Fig.20.b. 2: Placa de plomo procedente de Rafal Capità. Fechada a mediados del s.I dne (de Nicolàs, 1988)



5 cm

Fig.20.b. 1: Cuentas de collar de plomo procedentes de la cueva de Es Càrritx, sala 1 (Lull et alii, 1999)

Figura 20.b: Placas de plomo (Mallorca)

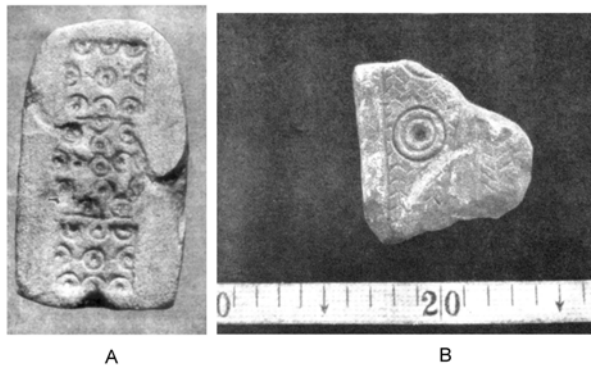


Fig.20.b. 3: Moldes de fundición para placas de plomo realizados sobre marès, procedentes de A) Puig d'en Canals (Enseñat, 1955), B) Son Cosme Pons (Fernández-Miranda, 1972)

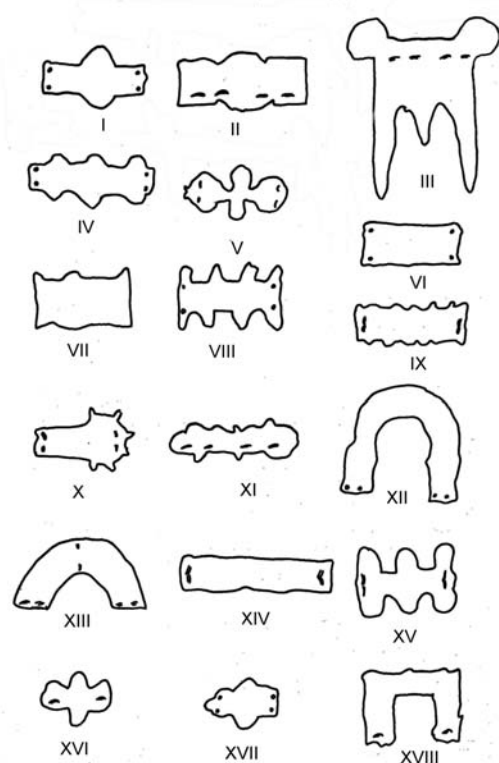


Fig.20.b. 5: Tipología propuesta por C. Enseñat. Sólo se muestran los tipos genéricos (Enseñat, 1981)

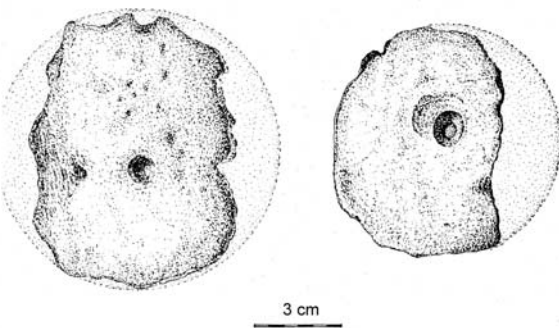


Fig.20.b. 4: Discos de bronce procedentes de Sa Mata (Veny, 1968)

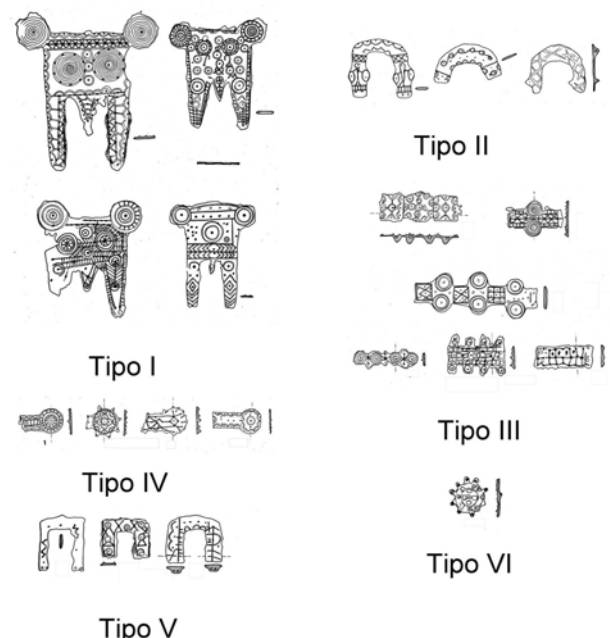


Fig.20.b. 6: Tipología propuesta por M. Fernández-Miranda (1978)

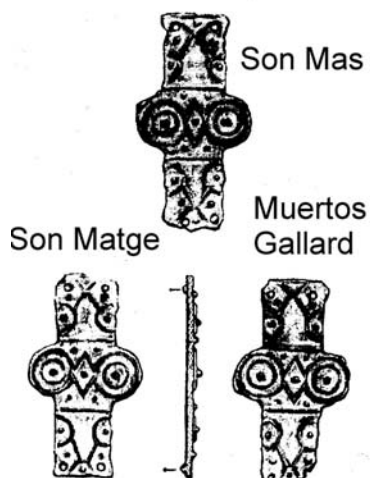


Fig.20.b. 7: Comparación entre placas de plomo procedentes de Son Mas, Son Matge y Muertos Gallard (Waldren, 1994)



Fig.20.b. 9: Placas de plomo procedentes de Muertos Gallard (Waldren, 1982)

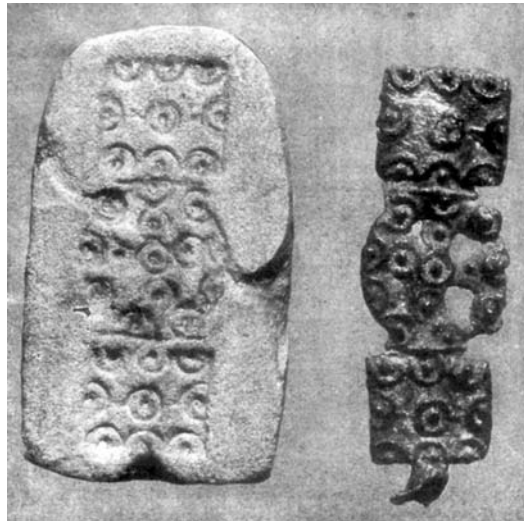


Fig.20.b. 8: Comparación entre el molde de fundición procedente de Puig de'n Canals y una de las placas de plomo procedentes de S'Alova (Enseñat, 1955)

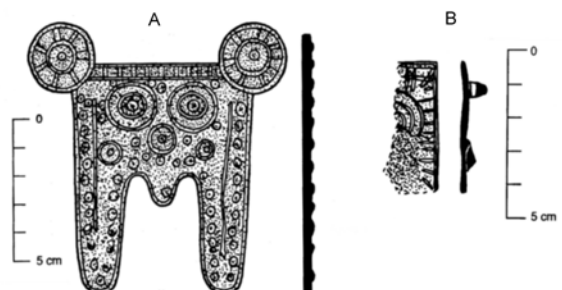


Fig.20.b. 10: Placas de plomo procedentes de Son Real, A)SR88, B)SR95 (Hernández, 1998)

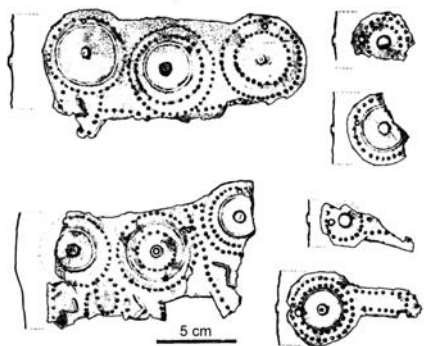


Fig.20.b. 11: Placas de plomo procedentes de Son Bosc (Enseñat, 1981)



Fig.20.b. 12: Placas de plomo procedentes de Son Matge (Waldren, 19821)

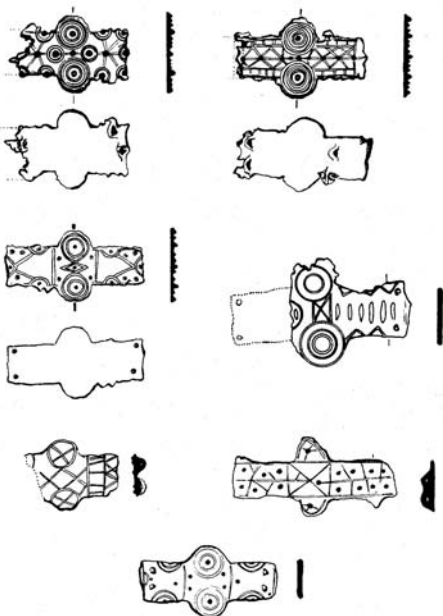


Fig.20.b. 13: Placas de plomo tipo I presentes en S'Alova, Son Julià, Muertos Gallard y Cova Monja (Enseñat, 1975)

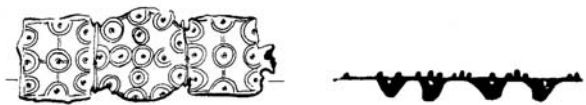


Fig.20.b. 14: Placa de plomo tipo II presente en S'Alova y Ses Copis (Enseñat, 1975)

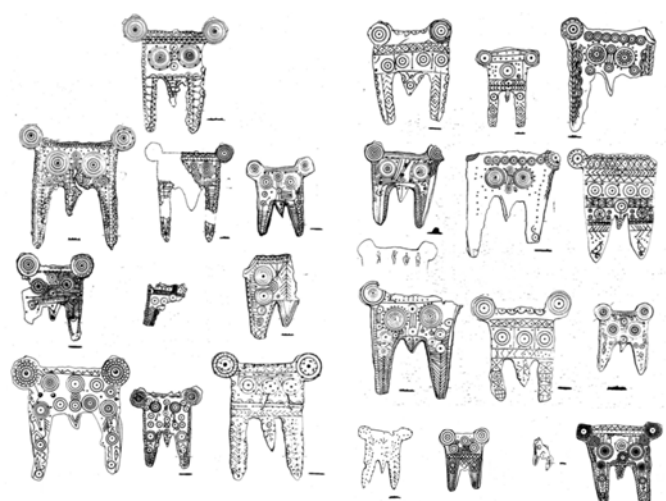


Fig.20.b. 15: Placas de plomo tipo III presentes en S'Alova, Ses Copis, Son Cresta, Son Bosc, Cova Monja y Son Julià (Enseñat, 1975)

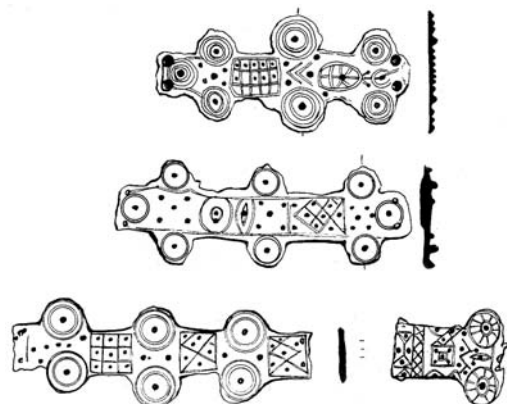


Fig.20.b. 16: Placas de plomo tipo IV presentes en Cova Monja, Son Julià, S'Alova y Son Taixaquet (Enseñat, 1975)

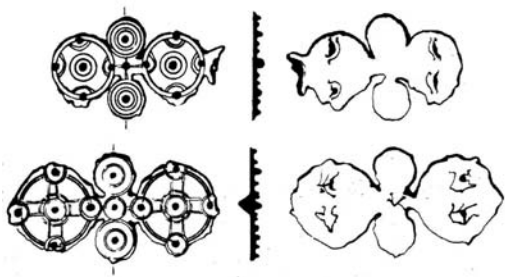


Fig.20.b. 17: Placas de plomo tipo V  
presentes en S'Alova, Ses Copis y Son Cresta  
(Enseñat, 1975)

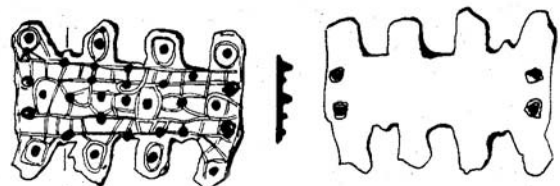


Fig.20.b. 20: Placa de plomo tipo VIII  
presente en Son Bosc (Enseñat, 1975)

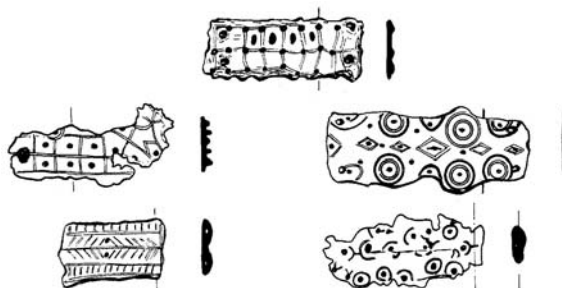


Fig.20.b. 18: Placas de plomo tipo VI  
presentes en S'Alova, Ses Copis, Son Julià y  
Cova Monja (Enseñat, 1975)

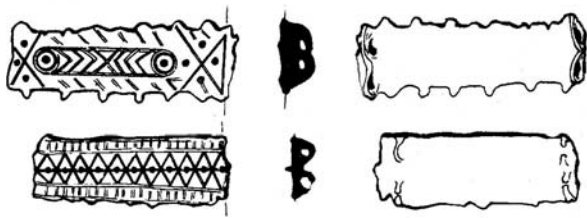


Fig.20.b. 21: Placas de plomo tipo IX  
presentes en Ses Copis (Enseñat, 1975)

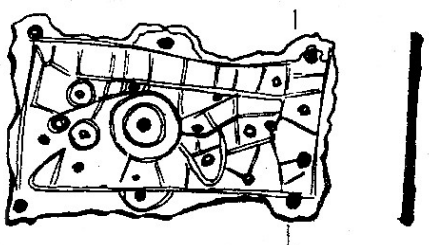


Fig.20.b. 19: Placa de plomo tipo VII  
presente en Son Bosc y Cova Monja  
(Enseñat, 1975)

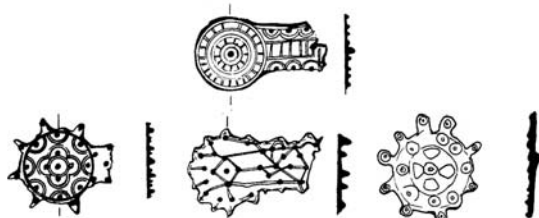


Fig.20.b. 22: Placas de plomo tipo X  
presentes en Ses Copis, S'Alova y Muertos  
Gallard (Enseñat, 1975)

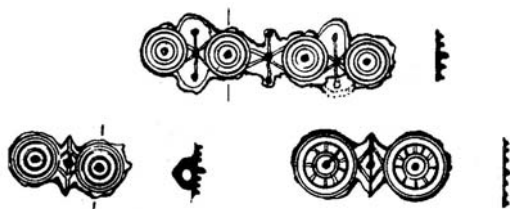


Fig.20.b. 23: Placas de plomo tipo XI  
presentes en Ses Copis (Enseñat, 1975)

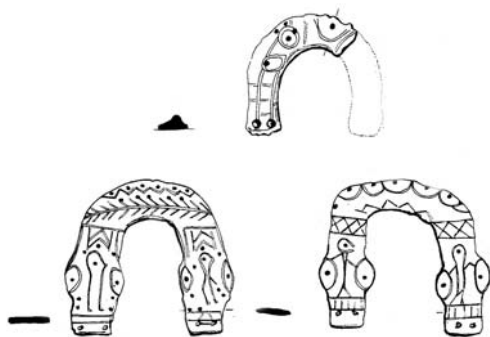


Fig.20.b. 24: Placas de plomo tipo XII presentes en Ses copis, Son Julià y Cova Monja (Enseñat, 1975)

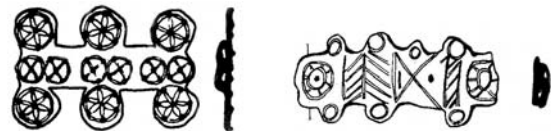


Fig.20.b. 27: Placas de plomo tipo XV presentes en Son Cresta, Son Julià y Son Bosc (Enseñat, 1975)

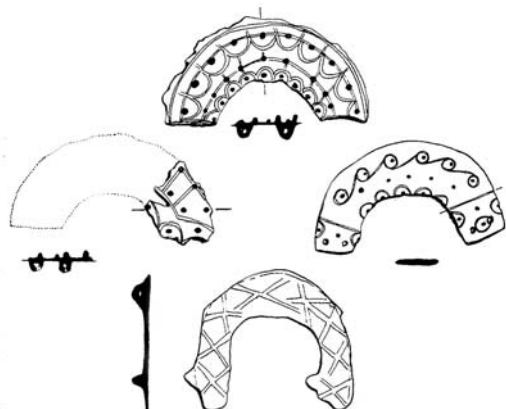


Fig.20.b. 25: Placas de plomo tipo XIII presentes en Ses Copis, Cova Monja y Muertos Gallard (Enseñat, 1975)

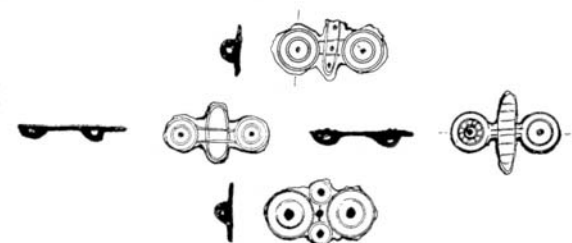


Fig.20.b. 28: Placas de plomo tipo XVI presentes en Son Julià, Son Cresta y Cova Monja (Enseñat, 1975)

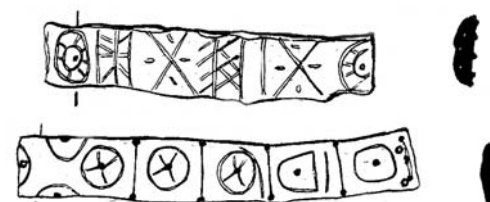


Fig.20.b. 26: Placas de plomo tip XIV presentes en Muertos Gallard y Cova Monja (Enseñat, 1975)

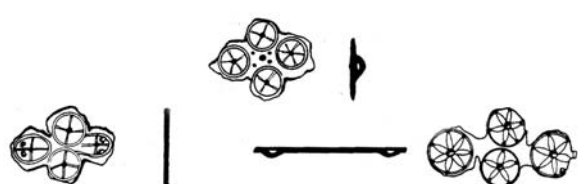
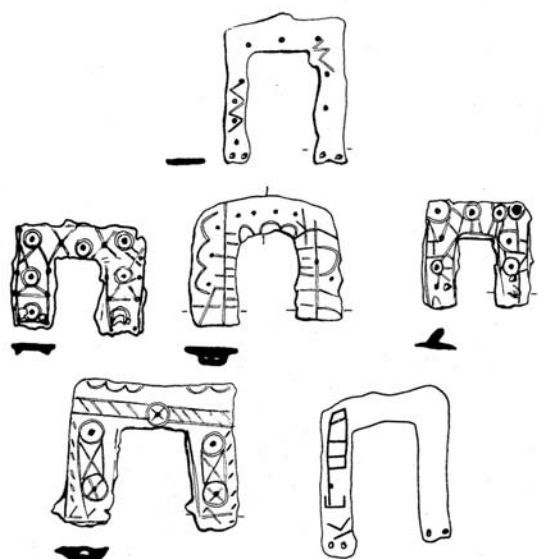
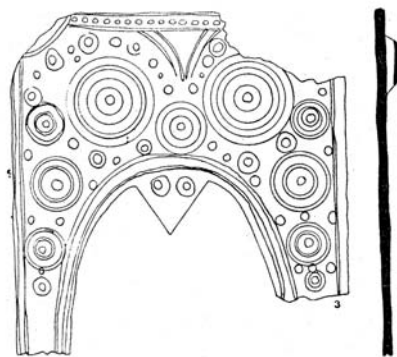


Fig.20.b. 29: Placas de plomo tipo XVII presentes en Son Julià, Son Bosc, Cova Monja y Son Cresta (Enseñat, 1975)



**Fig.20.b. 30: Placas de plomo tipo XVIII  
presentes en Son Julià, Son Bosc, Cova  
Monja y Muertos Gallard (Enseñat, 1975)**

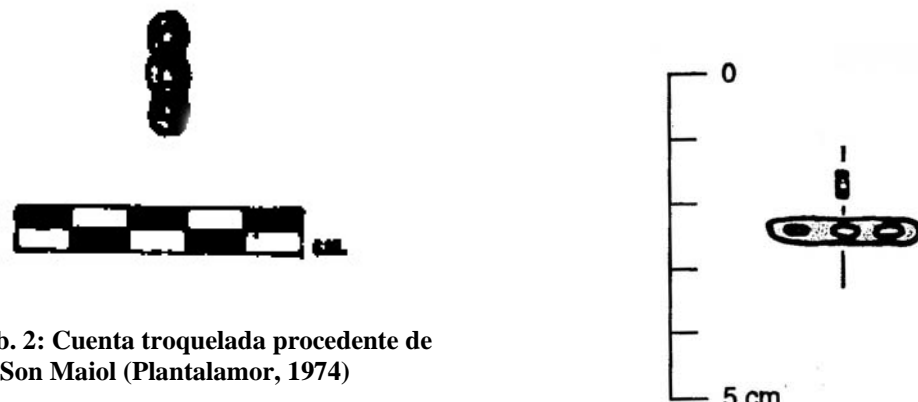


**Fig.20.b. 31: Placa de plomo procedente de  
Son Ribot (Coll, 1989)**

**Figura 21.b: Cuentas troqueladas de plomo: cinturones (Mallorca)**



**Fig.21.b. 1: Cinturón de cuentas troqueladas de plomo procedente de Cometa dels Morts I (Veny, 1947)**



**Fig.21.b. 2: Cuenta troquelada procedente de Son Maiol (Plantalamor, 1974)**

**Fig.21.b. 3: Cuenta troquelada de plomo procedente de Son Real, SR88 (Hernández, 1998)**

Figura 22.a: *Hachas bipenne*

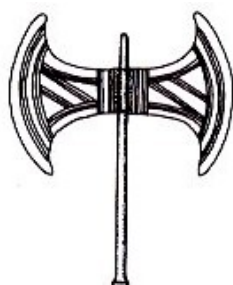


Fig.22.a. 1: Representación de una de las *bipenne* con mango procedentes de Knossos (Conrad, 1960, fig.24)



Fig.22.a. 2: Bipennes procedentes del santuario de Delfos (Perdrizet, 1908)



Fig.22.a. 3: *Bipenne* procedente de la tumba del Littore (AAVV:2000)

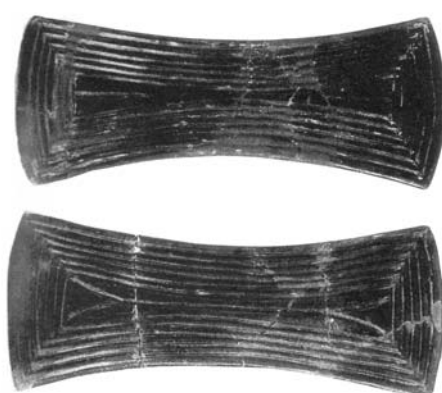


Fig.22.a. 6: *Bipennes* procedentes de Poggio Gallinero (AAVV, 2000:)

Figura 22.b: *Hachas bipenne* (Mallorca)



Fig.22.b. 1: *Bipenne* procedente de Son Fornés (Museo Arqueológico de Son Fornés, inédita)

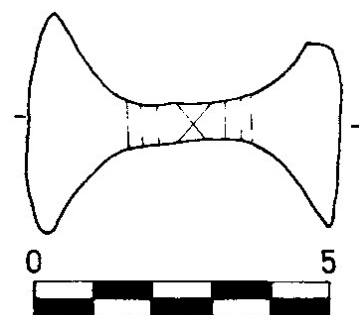


Fig.22.b. 4: *Bipenne* procedente de Ses Copis (Enseñat, 1981)

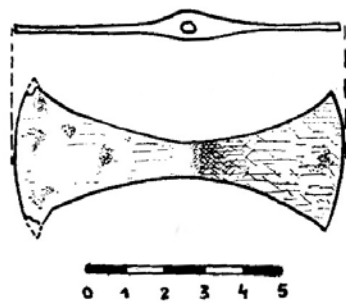


Fig.22.b. 2: *Bipenne* procedente de S'Illot des Porros (Tarradell, 1964)

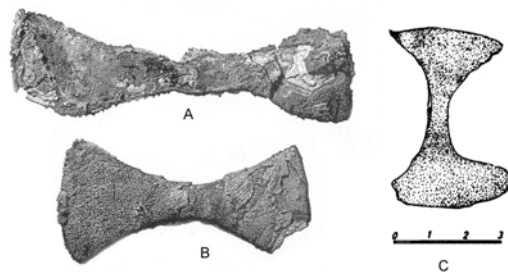


Fig.22.b. 5: *Bipennes* procedentes de Son Maimó. A-B) Excavación de Amorós (1974), C) Excavación del museo de Lluc (Veny, 1977)

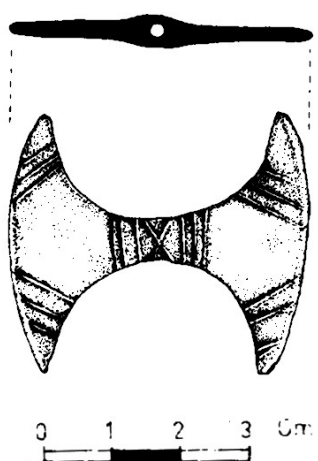


Fig.22.b. 3: *Bipenne* procedente de Son Bosc (Enseñat, 1981)

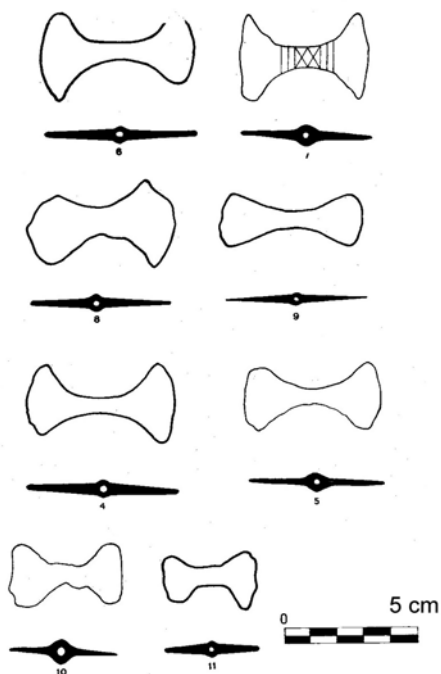


Fig.22.b. 6: Bipennes procedentes de Cova Monja (Enseñat, 1981)

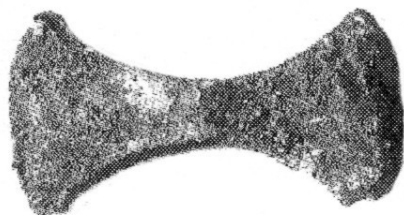


Fig.22.b. 7: Bipenne procedente de Cometa dels Morts (Veny, 1947)

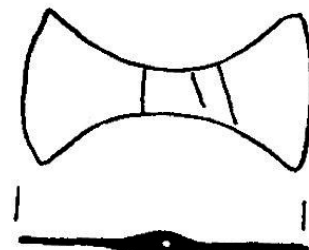


Fig.22.b. 8: Bipenne procedente de Son Ribot (Coll, 1989)

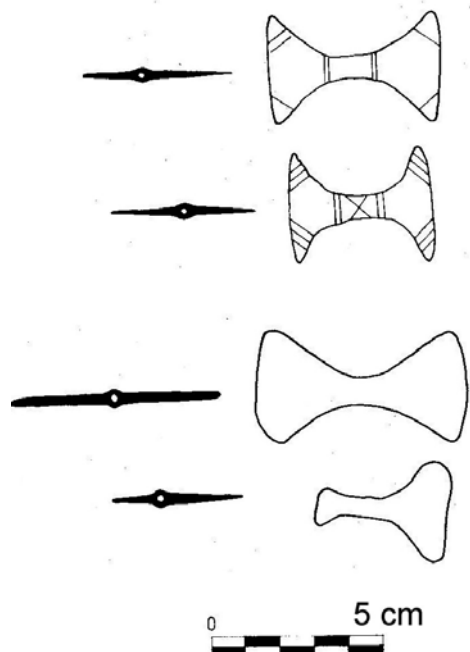


Fig.22.b. 9: Bipennes procedentes de Son Taixaquet (Enseñat, 1981)

Figura 23.a: Campanillas

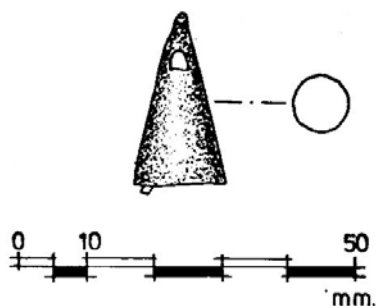


Fig.23.a. 1: Campanilla procedente de Puig des Molins, hipogeo nº42 (Gómez Bellard, 1984)



Fig.23.a. 4: Campanilla procedente de Mogador (Jodin, 1966)



Fig.23.a. 2: Collar de pasta vítrea y campanillas procedente de la necrópolis de Purmany (Román, 1906)

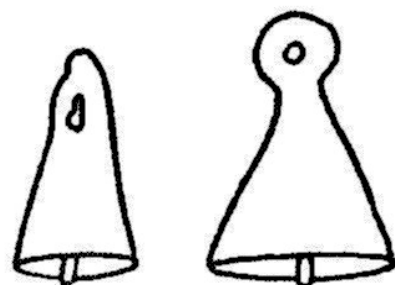


Fig.23.a. 5: Campanillas procedentes de Villaricos (Ramos, 1986)

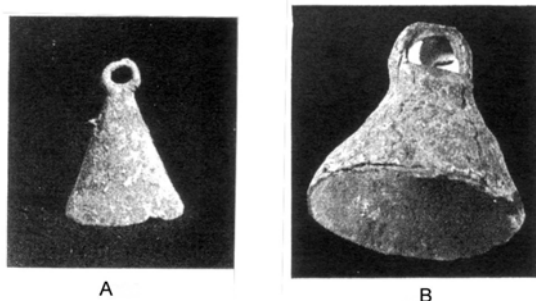


Fig.23.a. 3: Campanillas procedentes de Marruecos, A) Volúbilis; B) Banasa (Boube-Piccot, 1980)



Fig.23.a. 6: Campanilla procedente de Les Corts, inhumación nº9 (Almagro, 1953)

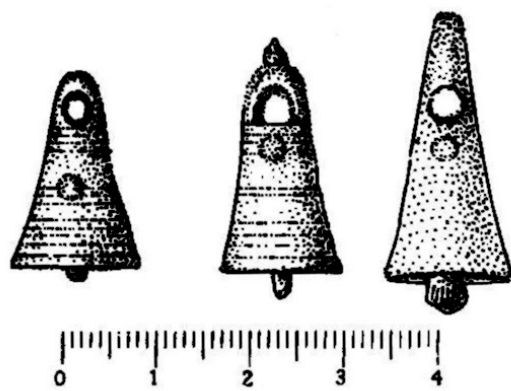


Fig.23.a. 7: Campanillas procedentes de la necrópolis de Orleyl (Lázaro *et alii*, 1981)

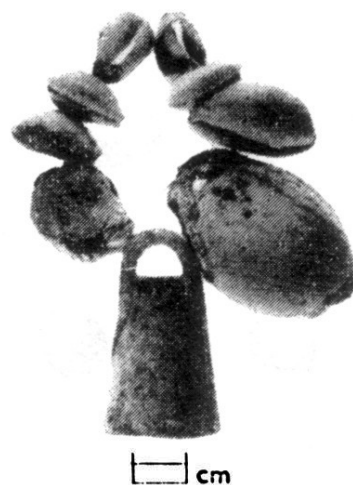


Fig.23.a. 8: Campanilla procedente de la necrópolis de Salamis (Karageorghis, 1970)

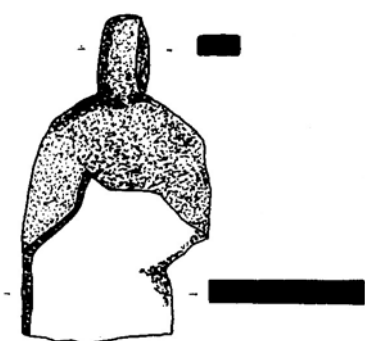


Fig.23.a. 9: Campanilla romana procedente de Can Fatjó (Gracia, 1983)

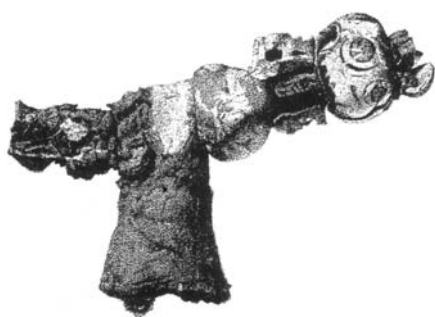


Fig.23.b. 1: Collar de pasta vítrea y campanilla procedente de Son Maimó (Amorós, 1974)

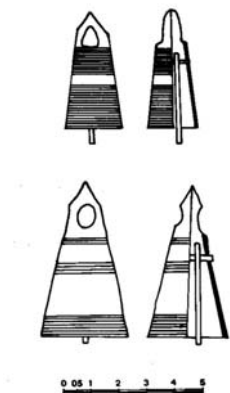


Fig.23.b. 2: Campanillas procedentes de S'Alova (Enseñat, 1981:fig.5)

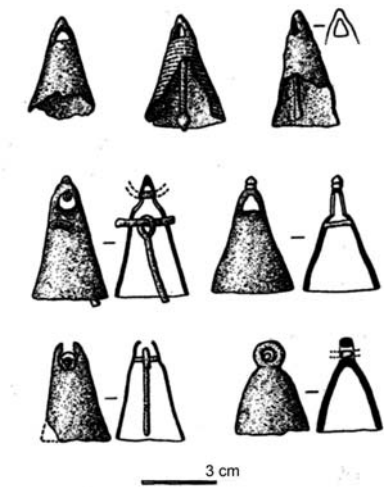


Fig.23.b. 3: Campanillas procedentes de Son Bauçà (Frontán, 1991)

Figura 23.b: *Campanillas (Mallorca)*

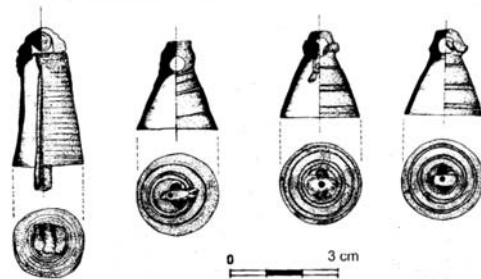


Fig.23.b. 4: Campanillas procedentes de Son Bosc (Enseñat, 1981)

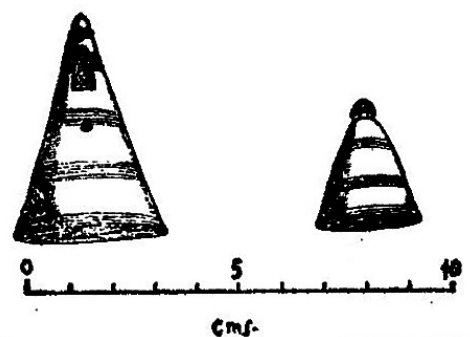


Fig.23.b. 5: Campanillas procedentes de Cometa dels Morts I (Veny, 1953)

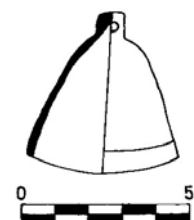


Fig.23.b. 6: Campanilla procedente de Ses Copis (Enseñat, 1981)

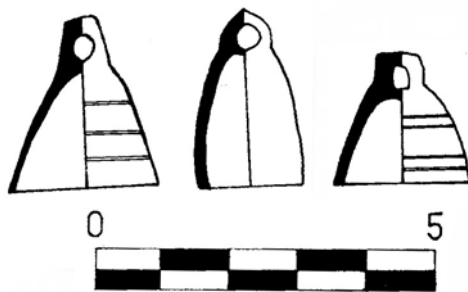


Fig.23.b. 7: Campanillas procedentes de Son Julià (Enseñat, 1981)

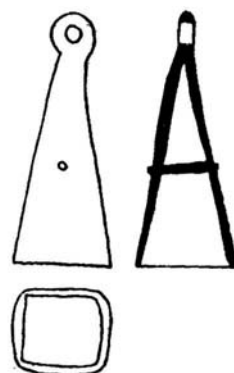


Fig.23.b. 8: Campanilla procedente de Son Ribot (Coll, 1989)

Figura 24.a: *Cuentas de pasta vítreo*

	Es Càrritx (Ciutadella) CAR 1 (fayenza)	C/ Zapatería, 11 (Lorca). Nº1 (fayenza)	C/ Zapatería, 11 (Lorca). Nº2 (fayenza)	Ibiza. Muestra nº1 (pasta vítreo)	Gatas (Turre). G/S1/2/A-2 (pasta vítreo)	Gatas (Turre). T.30 (pasta vítreo)
SiO <sub>2</sub>	87,6	ND	ND	61,7		
Na <sub>2</sub> O	0,1	0,1	0,1	2,6	17,4	19,7
K <sub>2</sub> O	ND	0,4	0,3	0,3	2	1,9
CaO	0,4	49,8	45,2	10,5	3,2	3,2
MgO	0,1	ND	ND	0,6	2,2	2,2
Fe <sub>2</sub> O <sub>3</sub>	ND	ND	ND	1,9	10,3	
Al <sub>2</sub> O <sub>3</sub>	0,1	ND	ND	11,1	2,1	2,3
PbO	1,3	ND	ND	0,22	ND	ND
Sb <sub>2</sub> O <sub>3</sub>	ND	ND	ND	5,4	ND	ND
P <sub>2</sub> O <sub>5</sub>	0,1	0,9	0,5	2,7	0,3	0,3
ZnO	0,1			0,49	ND	ND
TiO <sub>2</sub>		ND	ND	0,1	0,1	0,1
CuO	6,6	1,1	4,8	0,19	ND	ND
CoO	ND	ND	ND	0,19	ND	ND
SO <sub>3</sub>	0,1	2,3	1,5	1	0,2	0,2
Cl	0,9	ND	ND	0,46	0,6	0,6
Cr <sub>2</sub> O <sub>3</sub>	ND	ND	ND		ND	ND
As <sub>2</sub> O <sub>3</sub>	ND	ND	ND	0,024	0,2	ND
NiO	ND	ND	ND		ND	ND
MnO	ND	ND	ND	ND	ND	ND
BaO	ND			0,045	ND	ND
SnO <sub>2</sub>	ND	ND	ND		ND	ND
SrO				0,12		
In <sub>2</sub> O <sub>3</sub>				0,042		
C <sub>2</sub> O <sub>3</sub>				0,018		
ZrO <sub>2</sub>				ND		

Fig.24.a. 1: Comparación entre la composición química de cuentas de fayenza y pasta vítreo procedentes de Es Càrritx (Henderson, 1999), Calle Zapatería nº11, enterramiento nº1 (Henderson, inédito), Ibiza (Ruano, 1996:) y Gatas (Castro *et alii*, 1994)

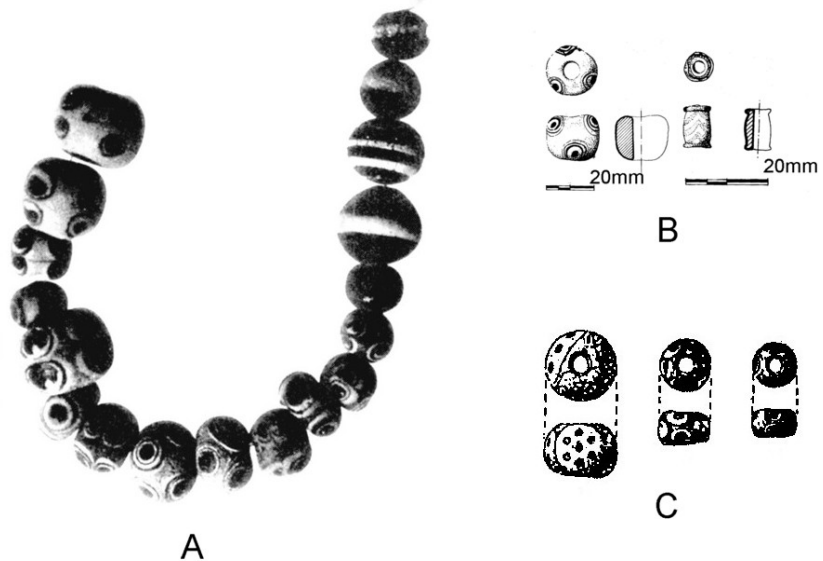


Fig.24.a. 2: Cuentas de pasta vítreas procedentes de A) Necrópolis de Aleria (Jehasse, 1973); B) El Cigarralero (Ruano *et alii*, 1996); B) Necrópolis Martí, inhumación nº21 (Almagro, 1953)

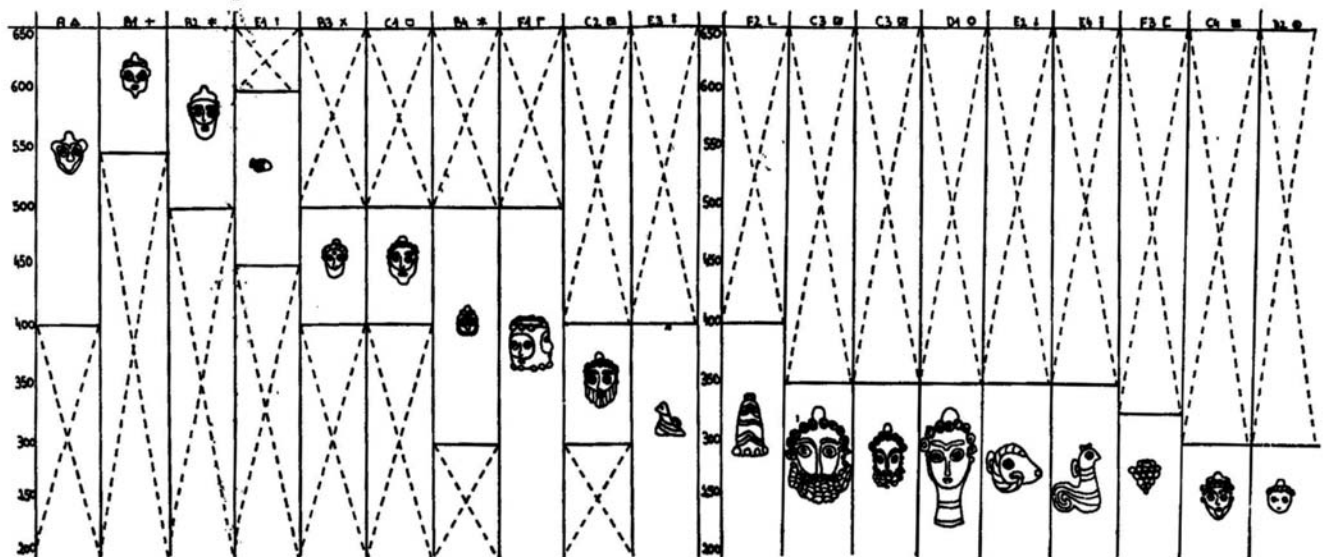


Fig.24.a. 3: Cuadro tipológico de las cuentas de pasta vítreas antropoformas (Seenfried, 1976)

**Figura 24.b: Cuentas de pasta vítrea  
(Mallorca)**

	Cometa des Morts I. FSACOM (fayenza)	Son Maimó. FSOAIM (fayenza)	Cova Massana (pasta vítrea)
<b>SiO<sub>2</sub></b>	<b>99,8</b>	<b>99,40</b>	<b>41,71</b>
<b>Na<sub>2</sub>O</b>	<b>1,2</b>	<b>ND</b>	<b>11,75</b>
<b>K<sub>2</sub>O</b>	<b>0,2</b>	<b>ND</b>	<b>0,81</b>
<b>CaO</b>	<b>0,2</b>	<b>0,5</b>	<b>2,86</b>
<b>MgO</b>	<b>0,1</b>	<b>0,1</b>	<b>1,65</b>
<b>Fe<sub>2</sub>O<sub>3</sub></b>	<b>0,2</b>	<b>0,1</b>	<b>ND</b>
<b>Al<sub>2</sub>O<sub>3</sub></b>	<b>0,7</b>	<b>0,1</b>	<b>0,89</b>
<b>PbO</b>	<b>0,1</b>	<b>0,1</b>	<b>39,83</b>
<b>Sb<sub>2</sub>O<sub>3</sub></b>	<b>0,1</b>	<b>ND</b>	
<b>P<sub>2</sub>O<sub>5</sub></b>	<b>0,1</b>	<b>ND</b>	
<b>ZnO</b>	<b>ND</b>	<b>ND</b>	<b>0,18</b>
<b>TiO<sub>2</sub></b>	<b>ND</b>	<b>ND</b>	<b>ND</b>
<b>CuO</b>	<b>0,6</b>	<b>0,4</b>	<b>ND</b>
<b>CoO</b>	<b>ND</b>	<b>ND</b>	
<b>SO<sub>3</sub></b>	<b>ND</b>	<b>ND</b>	
<b>Cl</b>	<b>0,1</b>	<b>0,3</b>	
<b>Cr<sub>2</sub>O<sub>3</sub></b>	<b>ND</b>	<b>ND</b>	
<b>As<sub>2</sub>O<sub>3</sub></b>	<b>ND</b>	<b>ND</b>	
<b>NiO</b>	<b>ND</b>	<b>ND</b>	
<b>MnO</b>	<b>0,1</b>	<b>0,1</b>	
<b>BaO</b>	<b>ND</b>	<b>ND</b>	
<b>SnO<sub>2</sub></b>	<b>0,1</b>	<b>0,1</b>	

**Fig.24.b. 1: Análisis de composición química de cuentas de fayenza y de pasta vítrea procedentes de  
Cometa dels Morts I, Son Maimó (Henderson 1999) y Cova Massana (Rincón, 1993)**

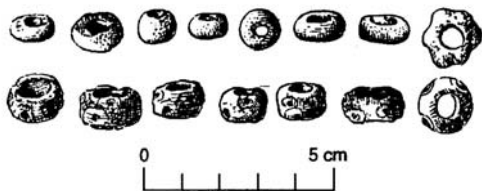


Fig.24.b. 2: Cuentas de pasta vítrea procedentes de Son Real, SR6 (Hernández, 1998)

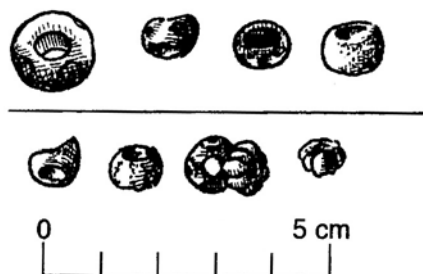


Fig.24.b. 3: Cuentas de pasta vítrea procedentes de Son Real, SR25 (Hernández, 1998)



Fig.24.b. 4: Cuentas de pasta vítrea procedentes de Son Maimó (Amorós, 1974 y Veny, 1977)



Fig.24.b. 5: Cuentas de pasta vítrea procedentes de Son Matge/Muertos Gallard (Waldren, 1982)

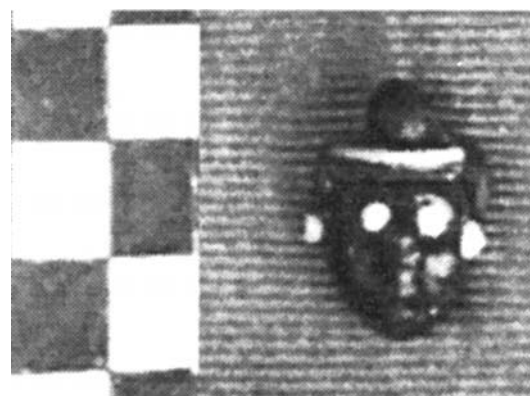


Fig.24.b. 6: Cuenta antropomorfa procedente de Son Real, SR99 (Hernández, 1998)



Fig.24.b. 7: Cuentas delfiniformes procedentes de Son Real, SR16 (Hernández, 1998)

Figura 25.a: Discos suspendidos o discos fijos



Fig.25.a. 1: Disco procedente del depósito de Vaudrevange (Prusia renana) (Dechelette, 1910)

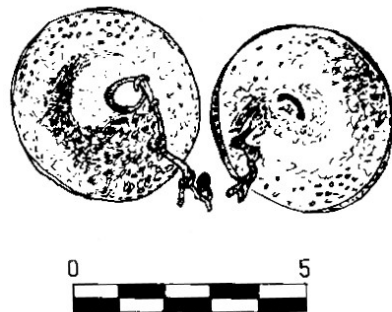


Fig.25.a. 3: Discos procedentes de Cartago (Enseñat, 1981)

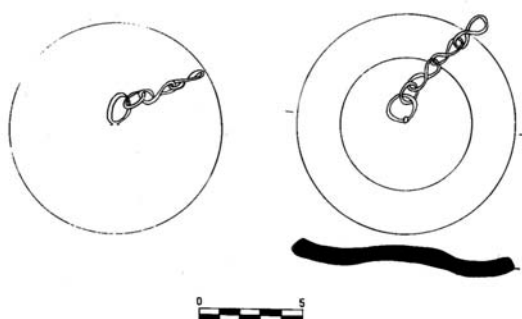


Fig.25.a. 2: Discos con cadena procedentes de Ibiza (Enseñat, 1981)

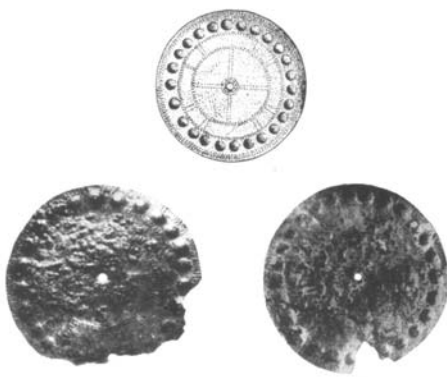


Fig.25.a. 4: Discos procedentes de la necrópolis de Chiavari (Lamboglia, 1960)

Figura 25b: Discos suspendidos o discos fijos (Mallorca)

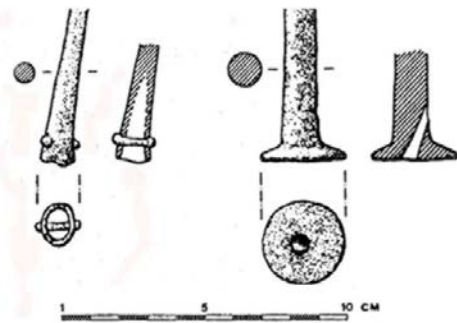


Fig.25.b. 1: Detalle del sistema de sujeción de las varillas procedentes de Son Bauçà (Frontán, 1991)

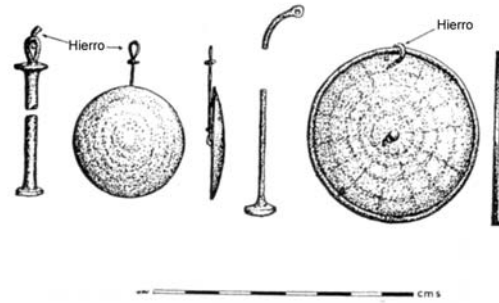
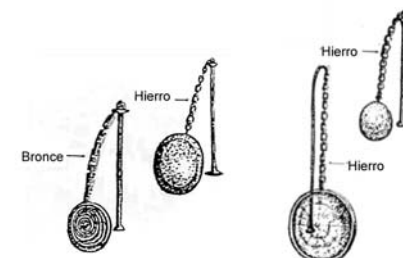


Fig.25.b. 4: Discos suspendidos o fijos procedentes de Son Matge (Waldren, 1982)

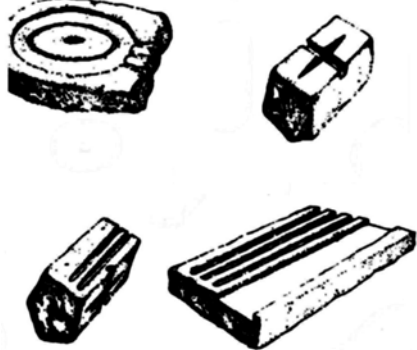


Fig.25.b. 2: Moldes para la fundición de discos y varillas (Cerdà, 1971)

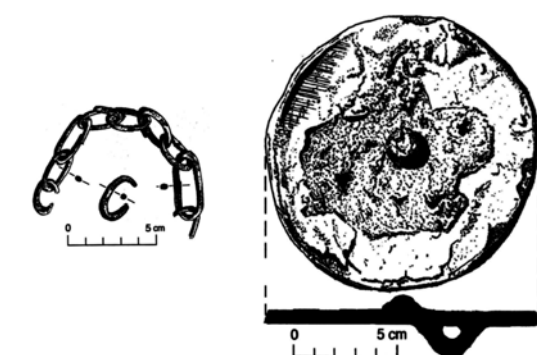
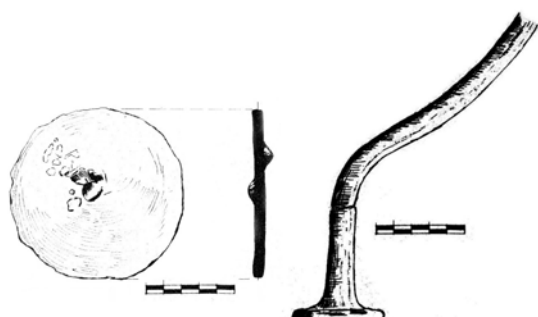


Fig.25.b. 5: Disco suspendido o fijo y cadena procedente de Son Real, SR36 (Hernández, 1998)

Fig.25.b. 3: Disco y percutor procedentes de la cata 2 de Son Matge (Rosselló-Bordoy y Waldren, 1973)

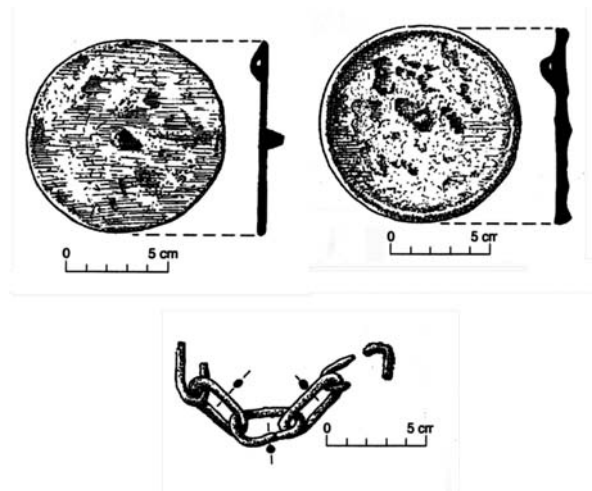


Fig.25.b. 6: Discos suspendidos o fijos y cadena procedentes de Son Real, SR74 (Hernández, 1998)

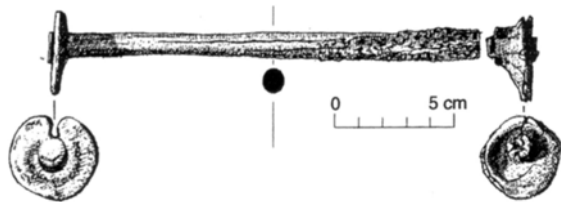


Fig.25.b. 7: Varilla de suspensión procedente de Son Real, SR19 (Hernández, 1998)

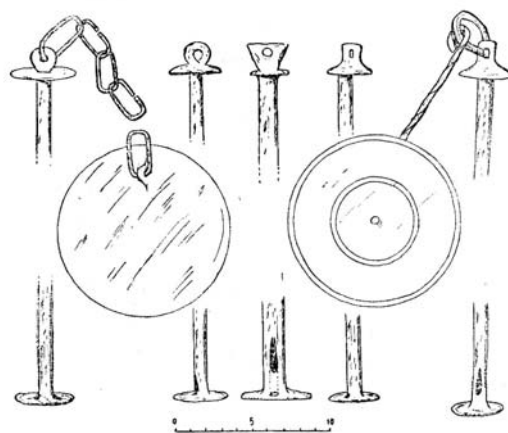


Fig.25.b. 8: Discos suspendidos o fijos y varillas de suspensión procedentes de Cometa dels Morts I (Veny, 1953)

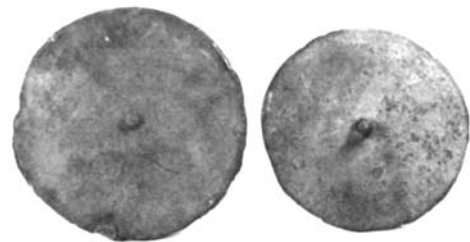


Fig.25.b. 9: Discos suspendidos o fijos procedentes de Son Julià (Enseñat, 1981)

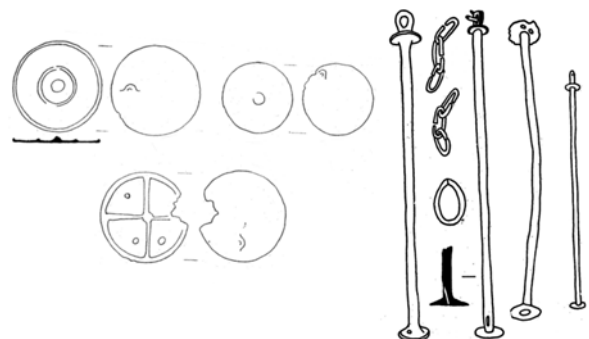


Fig.25.b. 10: Discos suspendidos o fijos y varillas de suspensión procedentes de Sa Madona (Coll, 1989)

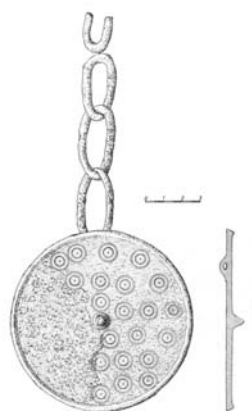


Fig.25.b. 11: Disco suspendido o fijo procedente de Son Maimó (Veny, 1977)

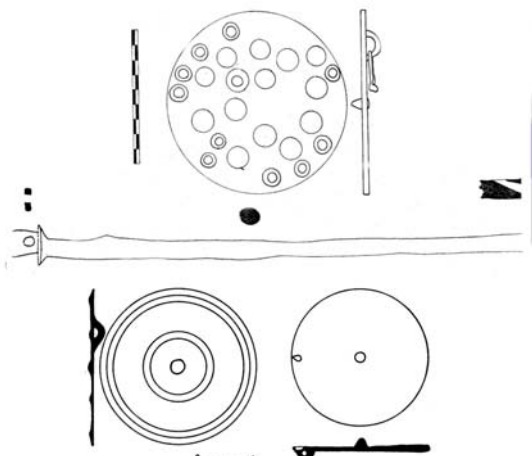


Fig.25.b. 12: Discos suspendidos o fijos y varilla de suspensión procedentes de Son Ribot (Coll, 1989)

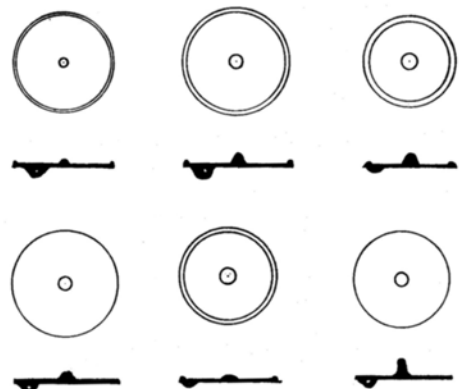


Fig.25.b. 13: Discos suspendidos o fijos procedentes de Son Taixaquet (Enseñat, 1981)

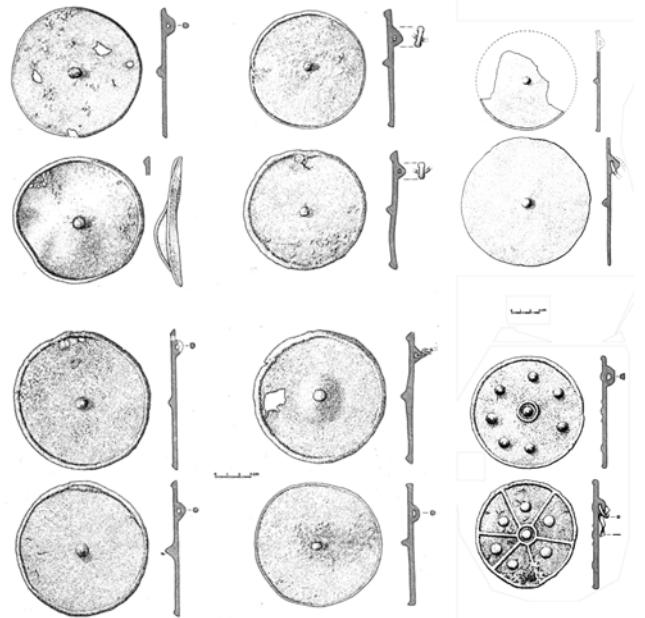
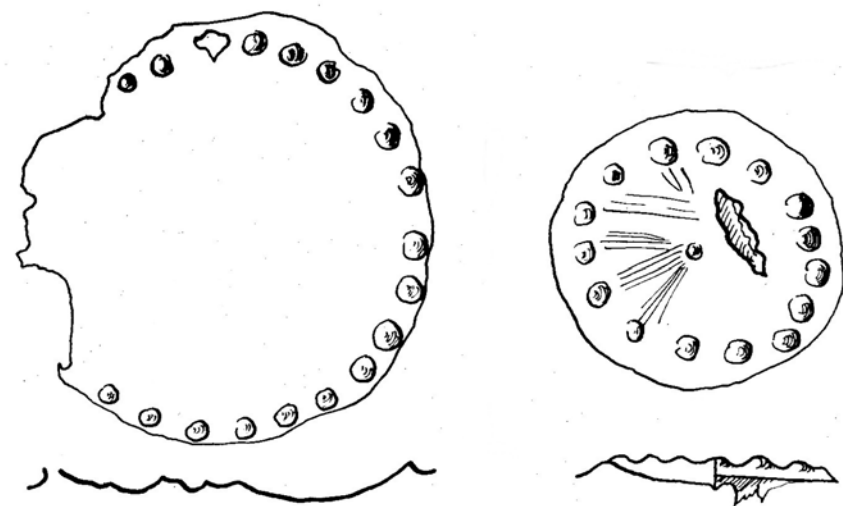


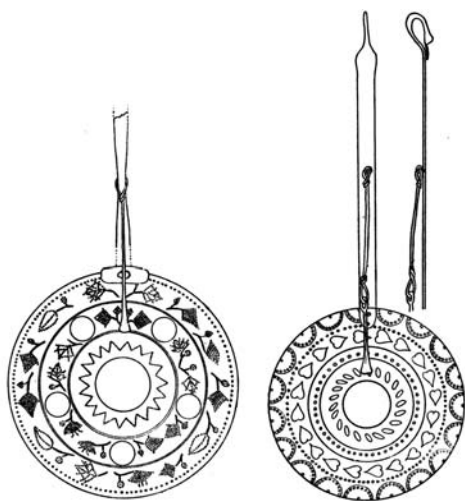
Fig.25.b. 14: Discos suspendidos o fijos procedentes de Son Bauçà (Frontan, 1991)

**Figura 26.a: Discos con percutor o móviles**

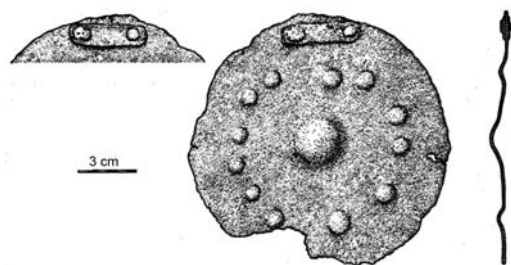


**Fig.26.a. 1: Discos perlados del Languedoc oriental (Py, 1972)**

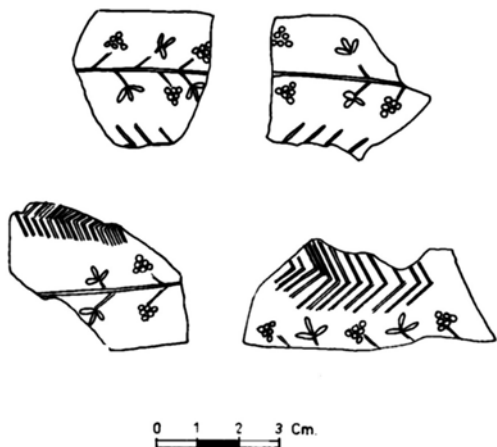
**Figura 26.b: Discos con percutor o discos móviles (Mallorca)**



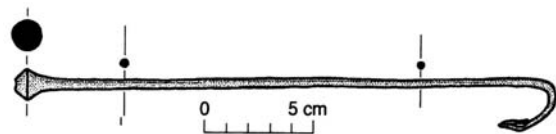
**Fig.26.b. 2: Discos con mango y percutor procedentes de Cometa dels Morts I (Veny, 1947)**



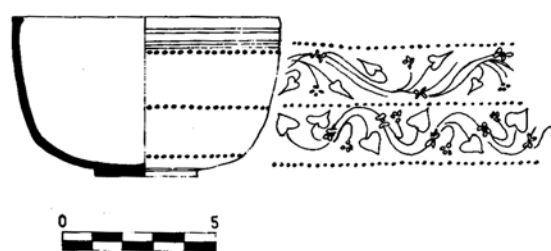
**Fig.26.b. 5: Disco procedente de Son Bauçà (Frontán, 1991)**



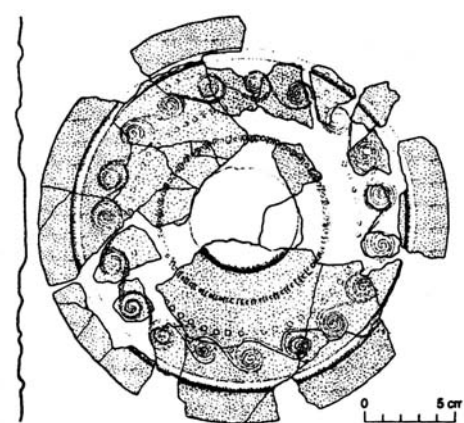
**Fig.26.b. 3: Disco suspendido decorado con hojas de vides procedente de Son Bosc (Enseñat, 1981)**



**Fig.26.b. 6: Varilla percutora procedente de Son Real, SR88 (Hernández, 1998)**



**Fig.26.b. 4: Cerámica de paredes finas procedente de Son Bosc (Enseñat, 1981)**



**Fig.26.b. 7: Disco procedente de Son Real, SR99 (Hernández, 1998)**

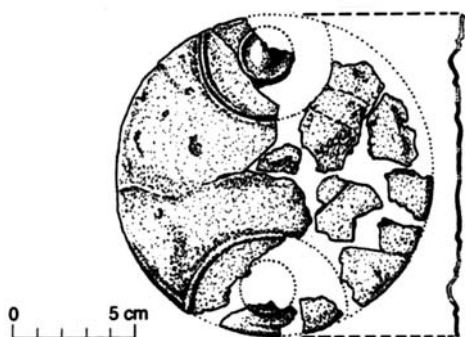


Fig.26.b. 8: Disco procedente de Son Real, SR19 (Hernández, 1998)

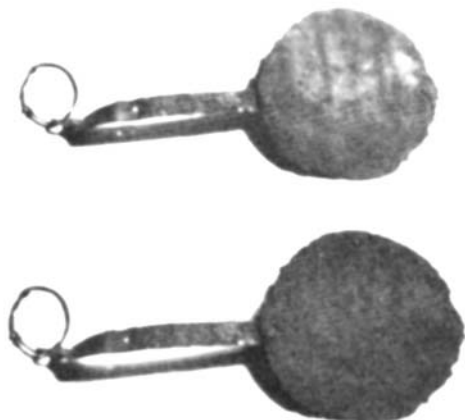
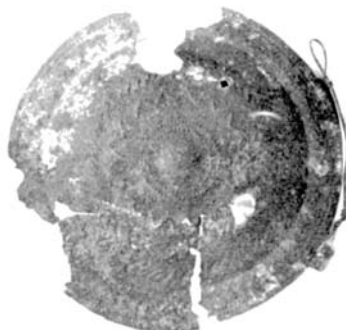


Fig.26.a. 9: Discos con mango procedentes de Son Julià (Enseñat, 1981)



Fig.26.b. 11: Discos procedentes de Son Taixaquet (Enseñat, 1981)

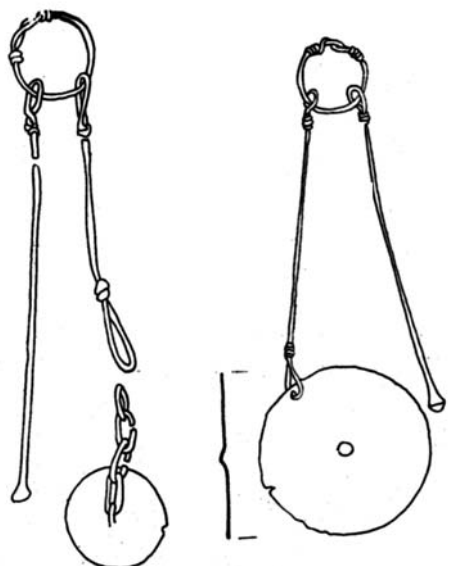


Fig.26.b. 10: Discos y varillas percutoras procedentes de Sa Madona (Coll, 1989)

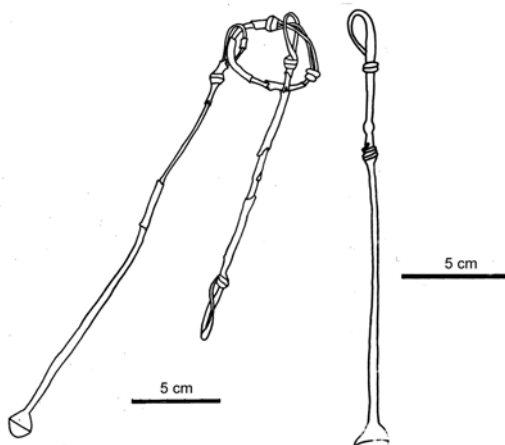
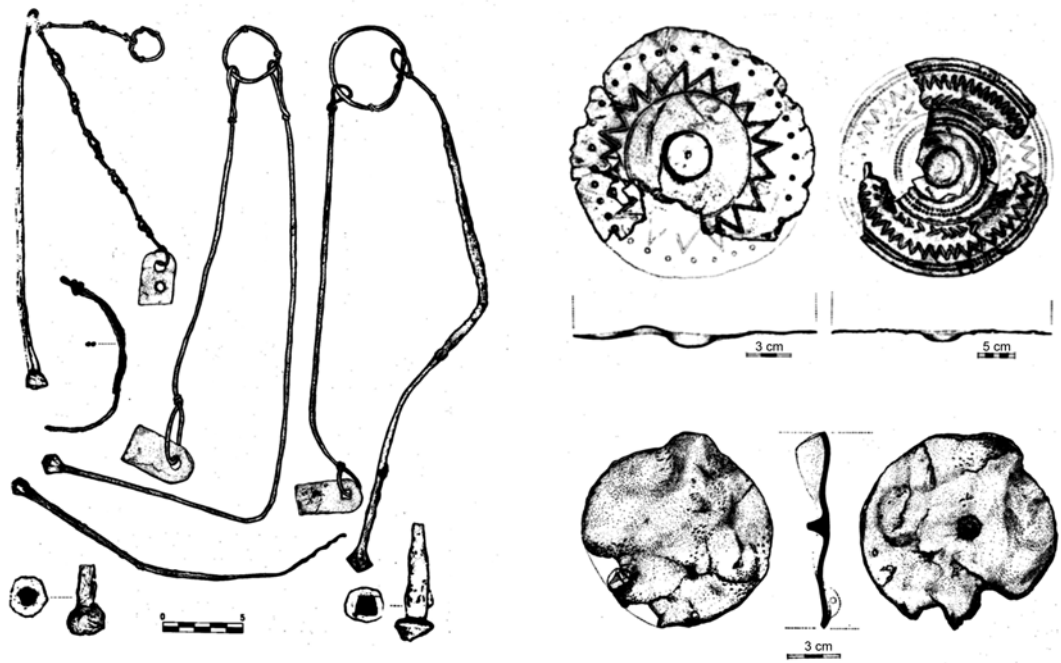
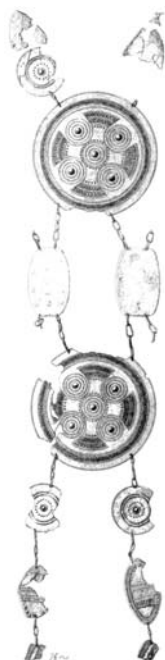


Fig.26.a. 12: Varillas percutoras procedentes de S'Alova (Enseñat, 1981)

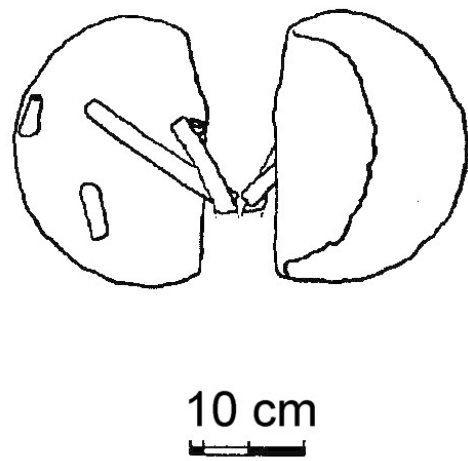


**Fig.26.b. 13: Discos y varillas percusoras procedentes de Son Bosc (Enseñat, 1981)**

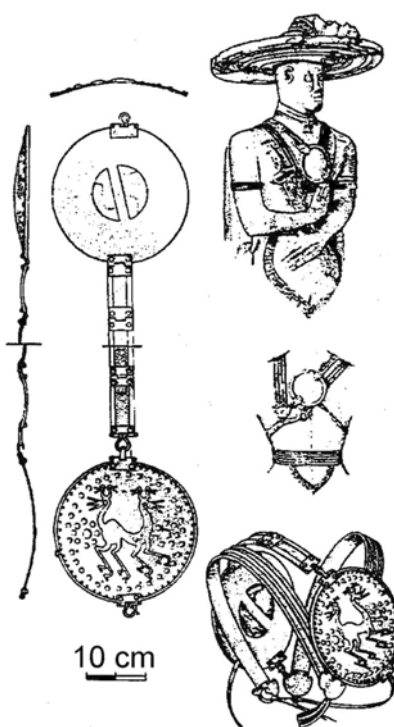
**Figura 27.a: Discos abombados:  
¿Páteras o discos coraza?**



**Fig.27.a. 1: Disco-coraza procedente de Aguilar de Anguita (Schule, 1969)**

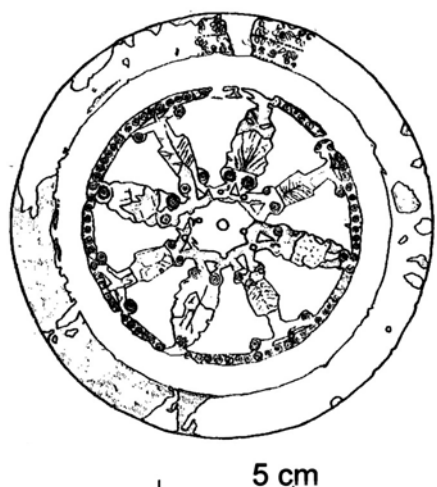


10 cm



**Fig.27.a. 2: Guarda-cuori italiano.  
Estructura y colocación (Quesada, 1997)**

**Fig.27.a. 3: Disco-coraza procedente de Cabecico del Tesoro, sepultura 400 (Quesada, 1997)**

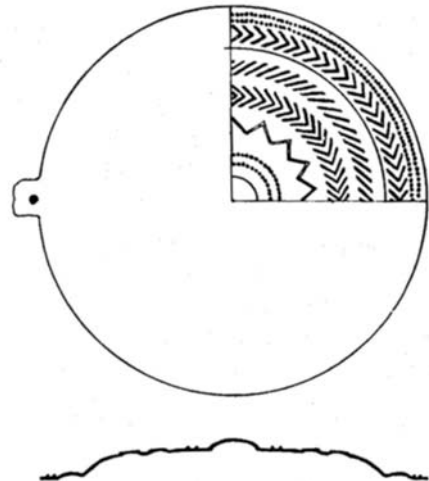


**Fig.27.a. 4: Disco de bronce y damasquinado de plata procedente de Aguilar de Anguita (Barril y Martínez, 1995)**

**Figura 27b: Discos abombados:  
¿Páteras o discos-coraza? (Mallorca)**



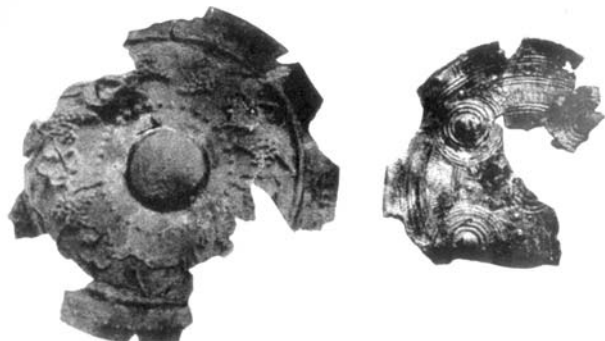
**Fig.27.b. 1: Discos abombados procedentes  
de Son Bosc (Enseñat, 1981)**



**Fig.27.b. 3: Disco abombado procedente de  
Son Taixaquet (Enseñat, 1981)**



**Fig.27.b. 2: Discos abombados procedentes  
de Cova Monja (Enseñat, 1981)**



**Fig.27.b. 4: Discos abombados procedentes  
de Cometa dels Morts (Veny, 1947)**

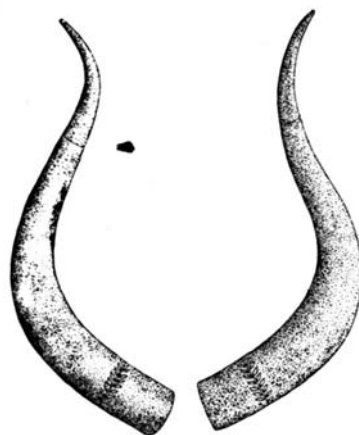
**Figura 28.b: Figurillas zoomorfas (I):  
Astas de toro (Mallorca)**



**Fig.28.b. 5: Asta de toro procedente de  
Costitx (Gual, 1993)**



**Fig.28.b. 8: Astas de toro procedentes de Son  
Cresta (Enseñat, 1981)**



**Fig.28.b. 6: Astas de toro con hojas de laurel  
incisas procedentes de Son Mas (Gual, 1993)**



**Fig.28.b. 9: Asta de toro procedente de  
Cometa dels Morts (Veny 1948)**



**Fig.28.b. 7: Asta de toro procedente de Son  
Carrió (Gual, 1993)**



**Fig.28.b. 10: Asta de toro procedente de Son  
Taixaquet (Gual, 1993)**

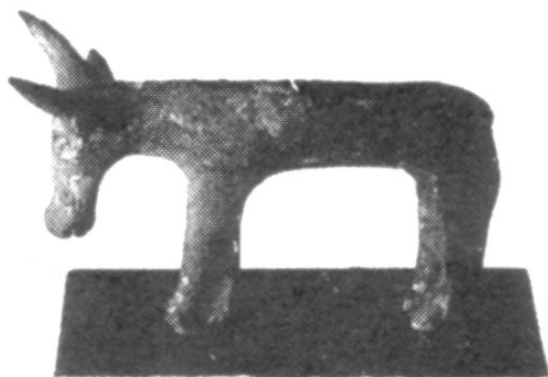
**Figura 29.a: Figurillas zoomorfas (II):Toros**



**Fig.29.a. 1:** Toro procedente de Santa Vittoria di Serri (Lilliu, 1963)



**Fig.29.a. 3:** Toro procedente de Collado de los Jardines (Álvarez Osorio 1941)

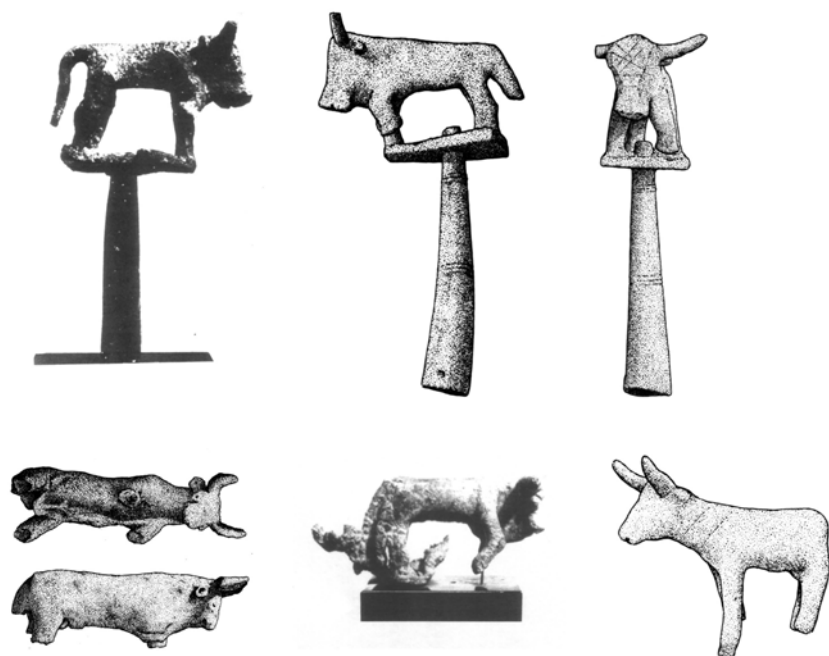


**Fig.29.a. 2:** Toro procedente de volterra (Boucher, 1970)

**Figura 29b: Figurillas zoomorfas (II):  
Toros (Mallorca)**



**Fig.29.b. 1: Toros posiblemente procedentes de Costitx conservados en el SIAMV (Soriano, 1987)**



**Fig.29.b. 2: Toros procedentes de Son Creta (Gual, 1993)**

**Figura 30.a: Figurillas zoomorfas (III):Aves**



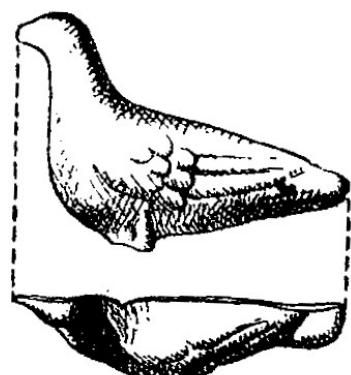
**Fig.30.a. 1:** Paloma etrusca depositada en el Museo Provincial de Torcello (Tombolani, 1981)



**Fig.30.a. 3:** Ave de barro cocido procedente de San Cristóbal de Mazaleón, habitación nº2 (Almagro, 1952)

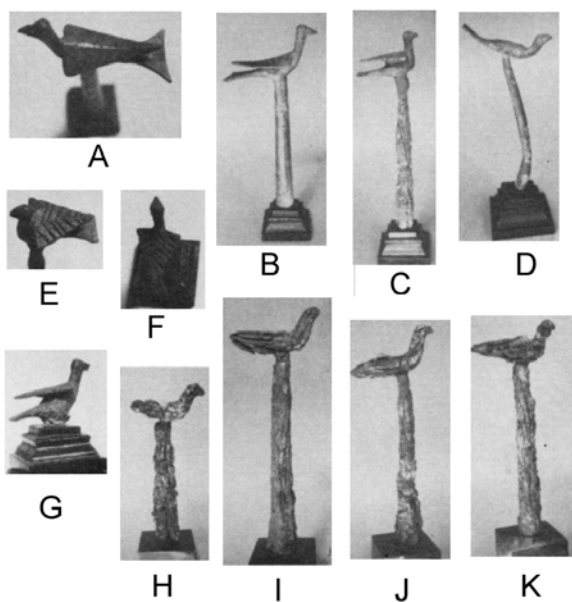


**Fig.30.a. 2:** Ave Sarda (Llompart, 1970)

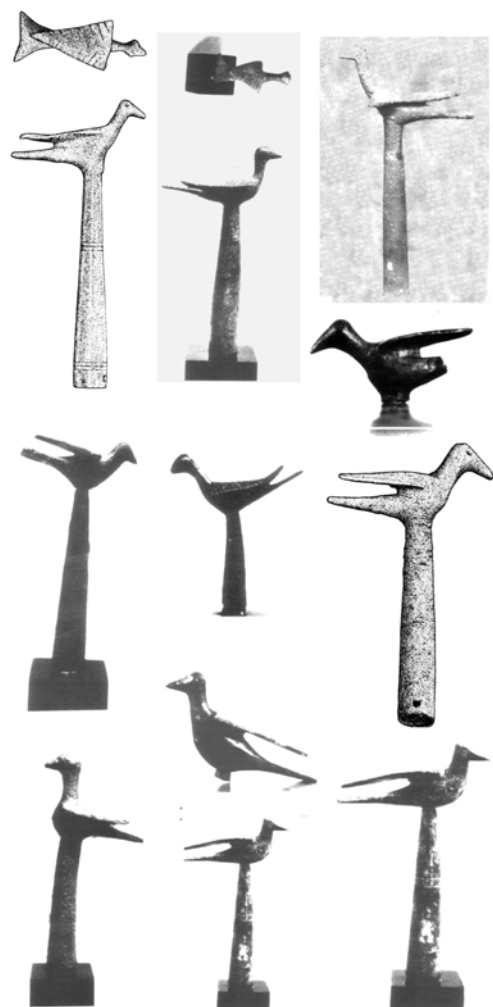


**Fig.30.a. 4:** Ave de barro cocido procedente de la necrópolis Les Corts, incineración nº26 (Almagro, 1923)

**Figura 30.b: Figurillas zoomorfas (II):  
Aves (Mallorca)**



**Fig.30.b. 1: Palomas procedentes de Cova  
Monja. A-G: Bronce; H-K: Hierro (Enseñat,  
1981)**



**Fig.30.b. 2: Palomas procedentes de Son  
Cresta (Gual, 1993)**

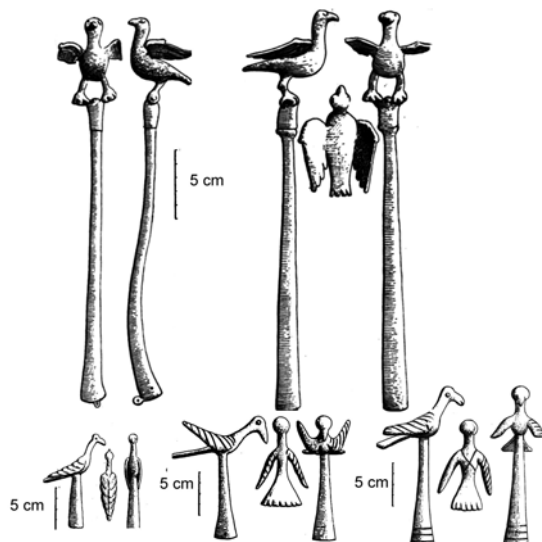


Fig.30.b. 3: Palomas procedentes de Cometa  
dels Morts (Veny, 1953)

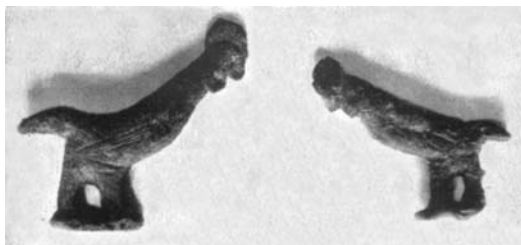


Fig.30.b. 4: Gallos procedentes de Cometa  
dels Morts (Veny, 1947)



Fig.30.b. 5: Palomas procedentes de Son  
Taixaquet. A: Hierro, B: Bronce (Gual, 1993)



Fig.30.b. 6: Paloma procedente de Son  
Vaquer d'en Ribera (Gual, 1993)



Fig.30.b. 7: Paloma procedente de Son Ribot  
(Gual, 1993)

Figura 31.b: *Taps* (Mallorca)

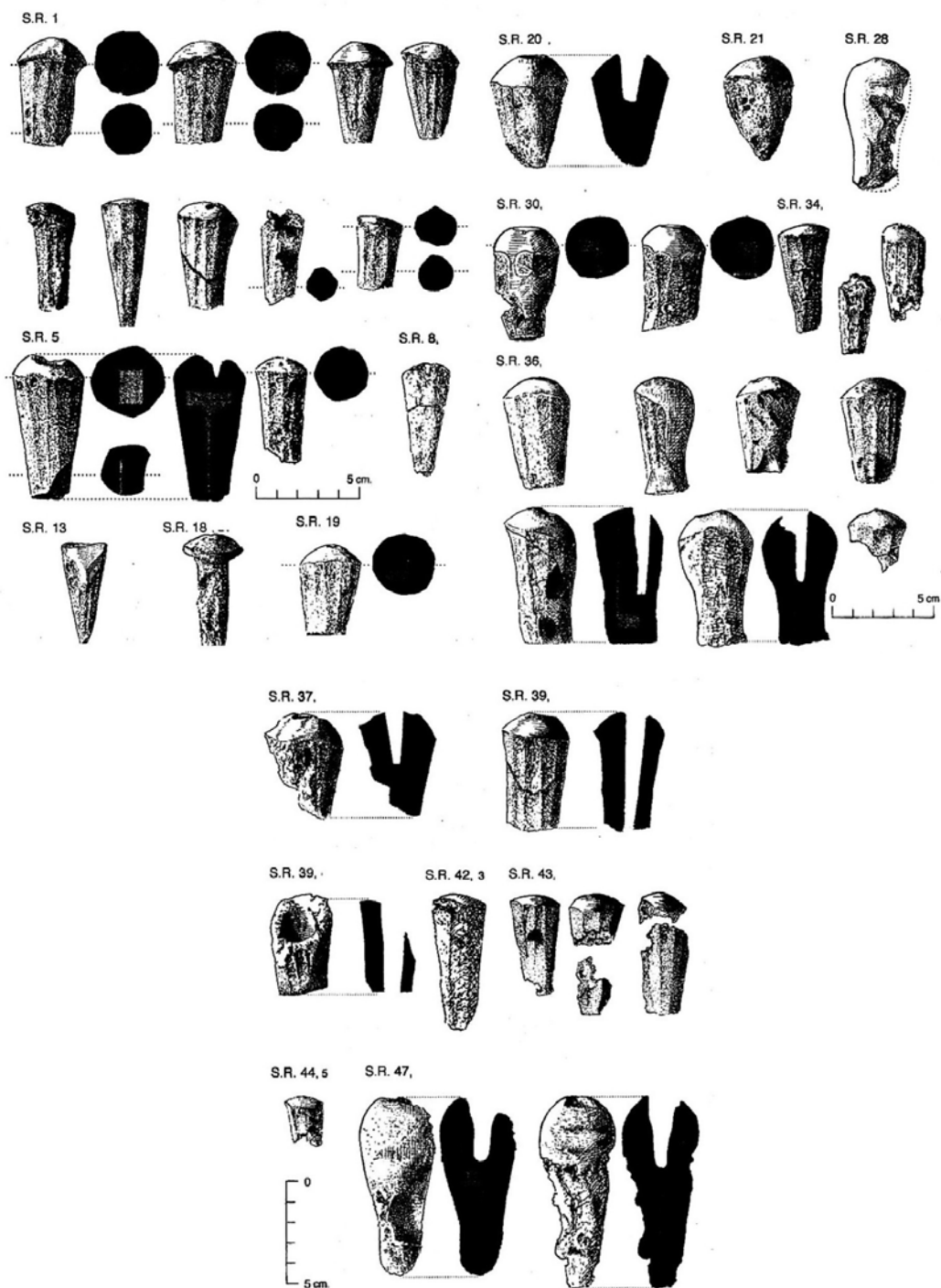


Fig.31.b. 8 (a): *Taps* procedentes de Son Real, varias tumbas (Hernández, 1996)

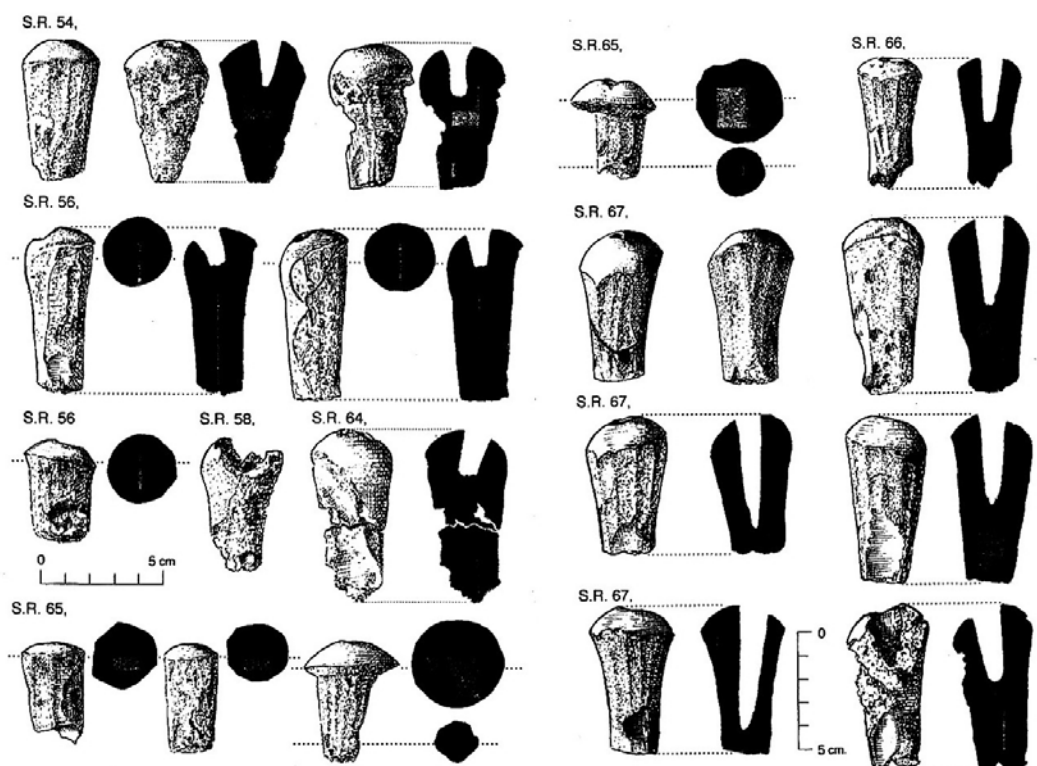


Fig.31.b. 1 (b): *Taps* procedentes de Son Real, varias tumbas (Hernández, 1996)

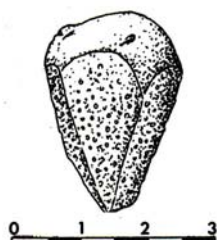


Fig.31.b. 3: *Tap* procedente de Son Maimó (Amorós, 1974)

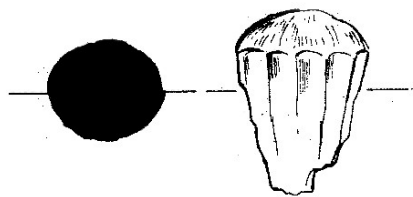


Fig.31.b. 4: *Tap* procedente de Son Matge (Rosselló-Bordoy y Waldren, 1973 )

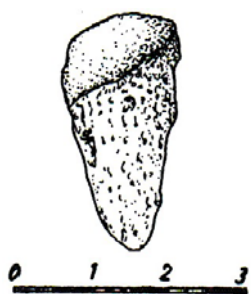


Fig.31.b. 2: *Tap* procedente de Cometa dels Morts II (Veny, 1977)

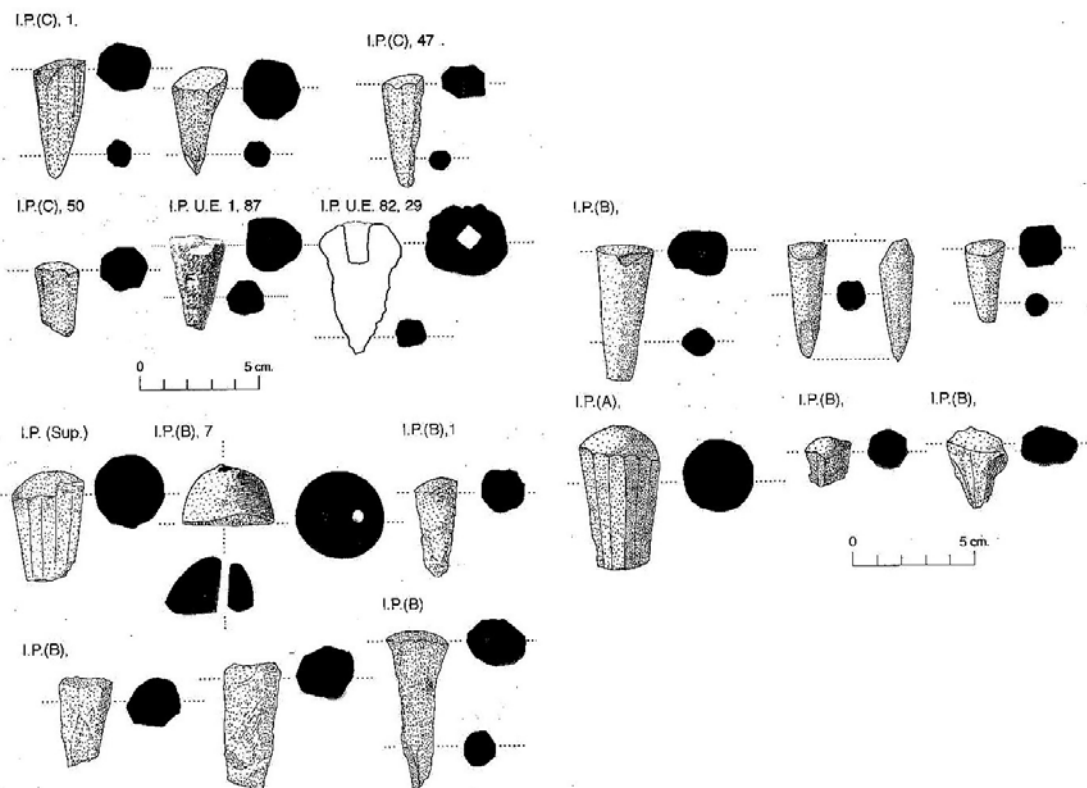


Fig.31.b. 5: *Taps procedentes de S'Illet des Porros (Hernández, 1996)*

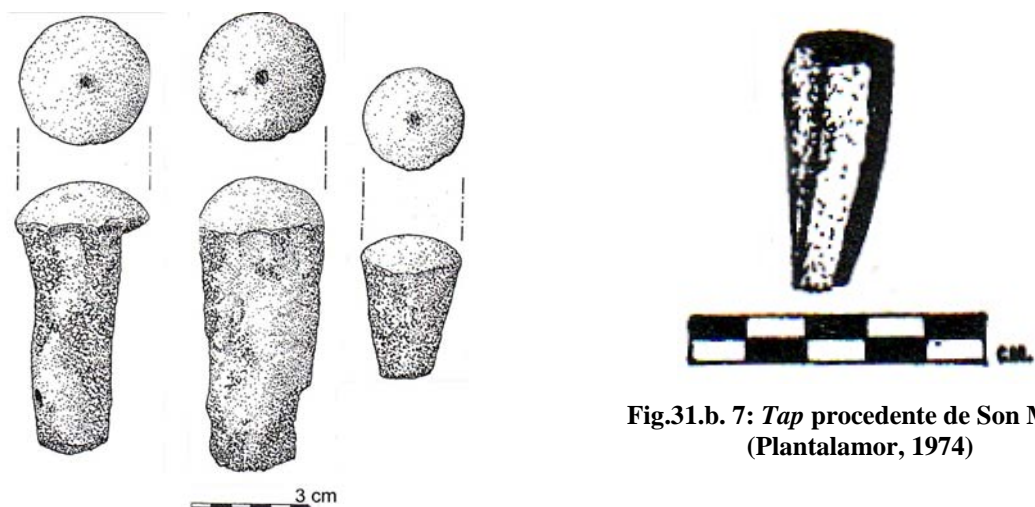


Fig.31.b. 6: *Taps procedentes de Son Bauçà (Frontán, 1991)*

Fig.31.b. 7: *Tap procedente de Son Maiol (Plantalamor, 1974)*